甘肃红石山地区泥盆纪—石炭纪有限洋盆重建与蛇绿混杂岩深部结构

方维萱,郑小明,方同辉,倪杰才,郭玉乾,李建旭

FANG Weixuan, ZHENG Xiaoming, FANG Tonghui, NI Jiecai, GUO Yuqian, LI Jianxu

有色金属矿产地质调查中心,北京 100012

China Non-ferrous Metals Resource Geological Survey, Beijing 100012

摘要:采用构造岩相学和构造-古地理单元恢复、AMT、地面高精度磁法等综合方法,对甘肃红石山和邻区泥盆纪——石炭纪有限洋盆进行重建,对红石山蛇绿混杂岩带进行构造岩相学解剖和深部探测。划分出5个构造层,前华里西期、华里西期、印支期、燕山期和喜山期。北部构造带为四顶黑山—崔儿山晚古生代岩浆弧相,中部构造带红石山蛇绿混杂岩带恢复为泥盆纪——石炭纪有限洋盆相+洋壳残片相,南部构造带为白山—狼娃山晚古生代岛弧相。蛇绿岩套从下到上的垂向单元为晚泥盆世——早石炭世变质超镁铁杂岩→堆晶超镁铁-镁铁岩→均质辉长岩和少量的辉绿岩墙→早石炭世扫子山期深水相硅质岩和含炭硅质细碎屑岩(有限洋盆相)。陆缘海相岛弧地体南北两侧为早石炭世扫子山期和白山期浅海相火山岛弧带。哈萨克斯坦板块南缘南向俯冲碰撞在敦煌地块北缘增生楔构造背景下,形成 SSZ型蛇绿岩套。红石山构造-蛇绿混杂岩带与周缘地质体具有不同的构造岩相学边界,从北向南具有明显的4个构造岩相学水平分带,中心部位为超基性岩构造岩块单元,以糜棱岩相辉长岩和蛇纹石片岩为包络面的构造岩片(基质单元),蛇绿混杂岩带总体为无根状大型透镜体。红石山构造一蛇绿混杂岩带将两侧地质体卷入混杂岩带内,这种复杂镶嵌结构的构造岩相体有利于形成大型-超大型斑岩型金铜钼矿床、浅成低温热液金矿床和造山型金矿床。

关键词:泥盆纪—石炭纪有限洋盆;SSZ 型蛇绿岩套;糜棱岩相辉长岩;岛弧造山带;区域成矿学;红石山中图分类号:P534.44;P534.45;P588.12 文献标志码:A 文章编号:1671-2552(2021)05-0649-25

Fang W X, Zheng X M, Fang T H, Ni J C, Guo Y Q, Li J X. Restoration of the Devonian-Carboniferous limited ocean basin and deep structure of ophiolitic melange in the Hongshishan area of Gansu Province. *Geological Bulletin of China*, 2021, 40 (5): 649-673

Abstract: Based on the comprehensive studies of tectonic lithofacies, restorations of tectonic paleogeographic units, AMT, and high—precision ground magnetic survey, the Devonian—Carboniferous limited ocean basin in the Hongshishan area of Gansu province was reconstructed. Furthermore, the depth structures of ophiolitic melange were detected by the means of AMT and tectonic lithofacies. It is classified into five tectospheres, namely, Pre—Variscan tectosphere, Variscan tectosphere, Indosinian tectosphere, Yanshanian tectosphere and Himalayan tectosphere. The northern tectonic belt is the Siding Heishan—Quershan Late Paleozoic magmatic arc facies, the central tectonic belt is the Hongshishan ophiolite melange belt which is restored to the Devonian—Carboniferous limited oceanic basin facies + oceanic crust remnant facies, and the southern tectonic belt is the Baishan—Langwashan Late Paleozoic island arc facies. The Hongshishan ophiolitic units from the lower to the top are the Devonian—Carniferous metamorphized ultramafic complex—cumulate ultramafic to mafic complex → homogeneize gabbro and diabase dikes → cherts and carbonic fine—clastic rocks formed from the deep water environment in the Early Carniferous Saozishan period(the limited oceanic facies). The north and south sides of the continental margin

收稿日期:2020-04-12;修订日期:2020-08-31

资助项目:中国地质调查局项目《北山图拉尔根—辉铜山地区区域地质调查》(编号:DD20190812)和国家 973 项目课题《古陆缘成矿系统与铜金多金属成矿作用》(编号:2001CB409805)

marine island arc terrain are Early Carboniferous Saozishanian and Baishanian shallow marine volcanic island arc belts. As a result of southward subduction of the Kazakhstan plate, the Hongshishan SSZ-type ophiolitic melange might be formed on the accretionary wedge on the northern margin of the Dunhuang terrain. Hongshishan ophiolitic melange belt and its peripheral terrain are defined by different tectonic petrography boundaries, which obviously show four tectonic petrography zones from north to south. The center is ultramafic rocks characterized by gabbro and serpentine schist mylonite. The ophiolite melange belt is generally a large rootless lens. The Hongshishan tectonic—ophiolite melangite belt involved the geological terrains on its both sides to form a complex mosaic structural lithofacies conducive to the formation of large—super—large porphyry Au, Cu, Mo deposits, epithermal gold deposits and orogenic gold deposits.

Key words: Devonian – Carboniferous limited ocean basin; SSZ – type ophiolitic mélange; mylonitic gabbro; arc – type orogenic belt; regional metallogeny; Hongshishan

蛇绿混杂岩是造山带内特殊的大地构造相,由 构造变形变位后的地质体单元和相体相互套叠组 成。构造-蛇绿混杂岩带由块体和基质共同构成内 部无序的镶嵌相体结构,为构造岩相体+岩石地层 体的异时同位叠加多维镶嵌相体。以大比例尺独 立地质填图单元对蛇绿混杂岩和增生杂岩进行解 析研究,可为有限洋盆重建、板块边界和俯冲极性 恢复、矿产预测等提供依据,为洋-陆转换演化和造 山带深部结构等提供信息,是长期研究和关注的热 点[1-11]。混杂岩带的结构构造、物质组成、现今时空 配置等构造岩相学特征,记录了构造-古地理单元、 有限洋盆地层系统、大陆地壳侧向增生与垂向增生 历史等信息。对造山带中的混杂岩分布区进行 1:5万专题地质填图和大比例尺(1:25000~ 1:1000)构造岩相学解析研究,是揭示造山带蛇绿 混杂岩和增生杂岩结构、组成及其时空配置关系与 形成机制的有效手段。

混杂岩作为大地构造相类型[2-5],形成于汇聚板块边缘上弧前盆地、弧间盆地和弧后盆地,被动大陆边缘、大陆裂谷、陆内挤压变形带等不同构造环境。按照物质组成和成因,可分为蛇绿混杂岩、增生杂岩、大洋板块地层混杂岩、构造混杂岩、沉积混杂岩、底辟混杂岩、复成因混杂岩等类型[1-2,6-7]。遵循构造环境和物质组成原则开展岩片类型划分,将造山带混杂岩划分为滑动岩块、滑塌岩块、蛇绿岩片、玄武岩片、超镁铁岩片、硅质泥岩岩片、碳酸盐岩片、火山弧岩片、复理石岩片、磨拉石岩片、碳酸盐岩片、火山弧岩片、复理石岩片、磨拉石岩片、碳酸盐岩片、火山弧岩片、复理石岩片、磨拉石岩片、裂解块体岩片、(超)高压变质岩片 12 个类型,同时将火山弧岩片定义为火山、海山或火山弧残片,由喷出相火山岩、火山弧深成岩相根部和来源于火山弧的沉积碎屑构成[10-11]。增生杂岩、蛇绿混杂岩、增生岩浆弧和弧前盆地是增生型造山过程和板块俯

冲极性的依据,也是造山带研究的难点问题^[8-11]。构造-古地理单元恢复、建立大地构造水平相序结构和水平相序分带,利用增生杂岩、蛇绿混杂岩、俯冲带变质作用等进行综合构造岩相学研究,在多学科综合研究基础上进行融合解释,有助于解决这些难点问题。专题填图^[11-14]、大比例尺构造岩相学和深部构造岩相学专项填图^[15-18],对于解决复杂相体和复杂构造岩相学类型具有重要意义,也有助于解决上述难题。

前人从区域地层、火山岩和侵入岩角度对甘肃 北山和邻区的研究取得了显著进展[19-62],但仍有诸 多难题有待解决。①对红石山蛇绿岩套和构造演 化存在不同认识[31,33-35,38,43-48,59]。左国朝等[43]将红 石山超基性-基性岩成因类型归入蛇绿岩套。Xiao 等[44]认为,从北向南依次发育的雀儿山岛弧、红石 山蛇绿混杂岩、黑鹰山-旱山岛弧、小黄山蛇绿混杂 岩、马鬃山岛弧、红柳河-洗肠井蛇绿混杂岩、双鹰 山-花牛山岛弧、柳园蛇绿混杂岩、石板山岛弧、敦 煌地块等构造单元组成的区域构造分带,确定了红 石山蛇绿混杂岩带在中亚造山带研究中的价值。 经1:25万红宝石幅研究,认为该蛇绿混杂岩中存在 超镁铁-镁铁质堆晶岩,发现了洋脊型玄武岩①。王 国强等[45]报道了红石山蛇绿混杂岩带内的辉长岩 形成于 346.6±2.8 Ma,与内蒙百合山蛇绿混杂岩带 内辉长岩形成年龄(344 Ma)^[38]相近。但王小红 等[59]认为,红石山基性-超基性岩体和火山沉积建 造是一种壳幔双层岩浆源区成因模型,与大陆裂谷 环境的双峰式火山岩组合特征相似,是一种与古亚 洲大洋消亡过程密切相关而发生在弧后盆地内的 大陆裂谷环境地幔岩浆作用的产物,而不是蛇绿岩 类型的地幔变质橄榄岩残块;是一个滞后于火山-沉积作用的岩浆侵入体。总之,在红石山蛇绿混杂

岩带研究方面仍有分歧和不同观点。因对红石山-百合山晚古生代有限洋盆重建研究不够深入,宏观 上制约了对红石山蛇绿混杂岩带区域构造演化的 深入研究。②甘肃北山金属成矿带东侧,发育蒙古 国南戈壁奥尤陶勒盖超大型斑岩型金铜钼矿床[24], 西侧发育东天山土屋斑岩型铜矿床,北侧紧邻蒙古 塔林大型金矿床和陆内造山带[23],虽然有较多新发 现和新进展,但至今仍未取得找矿重大突破。如甘 肃 460 金矿床属浅成低温热液金矿床,在金矿区内 发育石炭纪富钠质的钙碱性系列侵入岩体,石英闪 长岩($\delta_{0}C_{1b}$)和斑状石英闪长岩($\delta_{0}C_{1b}$)具有高 Al、 高 Sr 和 Sr/Y 值,低 Y 和 Yb,属埃达克岩质花岗闪 长岩(340.4±3.9~341.4±3.3 Ma[41]);石英闪长岩 (334.1±3.8 Ma)为接近原始埃达克岩浆的典型埃达 克岩[42],与洋壳俯冲板片熔融有密切关系。20世纪 80 年代,对甘肃马鞍山和 460 金矿区进行 1:25000 基岩地球化学测量,揭示 460 金矿区深部具有寻找 斑岩型金铜钼矿床的潜力[61]②,但对北山北带区域 构造演化研究不够深入,制约了深部找矿预测和金 矿勘查突破。③地表对蛇绿岩套进行相关研究也 取得了新进展,虽然单一方法是传统地质学的优 势,但对大陆造山带中蛇绿岩套和深部构造的认识 有限,而蛇绿混杂岩带为构造变形变位后的产物, 需要采用地质和综合物探方法对蛇绿岩套深部特 征进行探测,将地面地质填图与蛇绿混杂岩带深部 构造岩相学填图结合,有助于提升对蛇绿岩套物质 组成、深部结构及构造演化的深入研究。④在泥盆 纪构造演化与大地构造相研究方面[20-44],对北山构 造演化与金属成矿研究方面取得进展[25-29,36-57,62], 为本次恢复北山地区晚古生代造山带-岛弧-沉积 盆地等构造-古地理单元恢复提供了依据。但造山 带-岛弧-沉积盆地耦合与转换是中国大陆造山带 的重要特点,需要从多学科综合研究[60-64]。将大地 构造相、区域构造岩相学、深部构造岩相学专项填 图等研究相结合[15-18],从构造-沉积学和构造岩相 学多方面进行约束,进行区域构造-岩浆-沉积事件 和构造演化融合解释;对于与这些侵入岩体密切有 关的岩石地层和构造岩石地层进行研究,恢复甘肃 北山北带晚古生代相关构造一古地理单元,进行红 石山晚古生代有限洋盆重建,深入揭示红石山蛇绿 混杂岩带形成演化规律。

本文在甘肃北山北带红石山晚泥盆世—石炭

纪蛇绿混杂岩带和相邻区研究的基础上,采用大地构造岩相学类型恢复、大地构造岩相学水平相序结构研究、构造一古地理单元恢复、区域构造单元研究等综合方法,重建红石山泥盆纪—石炭纪有限洋盆和相关构造一古地理单元;在对红石山蛇绿混杂岩带进行地表研究、物探综合探测和深部构造岩相学专项填图的基础上,揭示红石山蛇绿混杂岩带深部三维结构,为红石山晚古生代有限洋盆形成演化提供新认识,揭示北山北带金成矿带的成矿地质背景、构造演化和深部找矿前景。

1 北山岛弧造山带的构造层特征与演化

甘肃红石山和邻区经历了复杂的构造演化历史,在甘肃北山地区、东天山和西蒙、蒙古南缘等区域路线构造岩相观测和综合对比研究基础上,以晚古生代构造格架为主导,本文将前泥盆纪构造岩石地层归入晚古生代基底构造层,将红石山和邻区构造层划分为前华里西期、华里西期、印支期、燕山期和喜山期5个主要构造层。

根据野外路线地质观测、不同重点地区地质普查和物化探异常检查评价,在大地构造岩相学和区域构造岩相学类型研究和综合对比基础上,将甘肃北山北带地区划分为3个主要区域构造带(图1),分别为:I四顶黑山-雀儿山晚古生代岛弧地体(浅海相火山岛弧带+深成岩浆弧带);II苦水-红石山-百合山有限洋盆相+洋壳残片相,该构造带控制了甘肃460-甜水井金(钨)成矿带(图1),以肃北县大型浅成低温热液型460金矿床、甜水井小型金矿床和梭梭泉北小型岩浆热液型钨矿床为代表,区域金矿点和金矿化点较发育;III白山-狼娃山-黑鹰山晚古生代岛弧地体。以狼娃山金矿点、黑鹰山铁磷钇矿床为代表,西段转向马庄山浅成低温热液金银矿床,为弧形金铁磷钇成矿带。

1.1 晚古生代岛弧基底构造层:前华里西期构造层

根据前泥盆纪地层和构造型相,前华里西期构造层分为新太古代一古元古代下基底构造层、中一新元古代中基底构造层和早古生代上基底构造层,其特征和演化规律如下。

(1)新太古界—古元古界敦煌岩群(Ar₃-Pt₁D) 下基底构造层(结晶基底)。分布在敦煌地区。敦 煌杂岩由 TTG 质片麻岩和变质表壳岩组成,如英 云闪长质片麻岩、奥长花岗质片麻岩、花岗闪长质

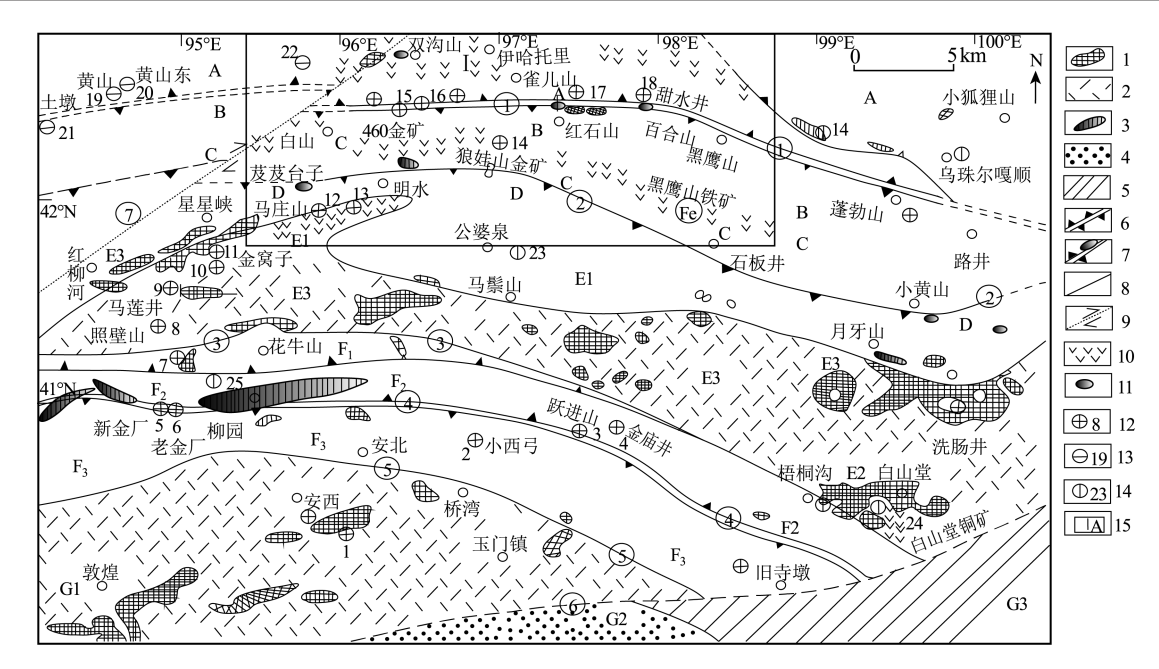


图 1 甘肃北山地区区域构造纲要与矿产分布简图(北山南带据参考文献[62]修改,构造格架为本文划分)

Fig. 1 Simplified regional tectonic map of the Beishan area in Gansu showing distribution of mineral deposits

1—前泥盆纪基底构造层;2—敦煌地块前寒武纪变质岩;3—早古生代蛇绿岩套;4—北祁连山早古生代造山带;5—华北板块西缘;6—早古生代蛇绿岩块和板块碰撞带;7—晚古生代蛇绿岩块和板块碰撞带;8—逆冲断层;9—斜冲走滑断层;10—晚古生代岛孤地体;11—石炭纪超基性岩和蛇绿混杂岩带;12—金矿床和编号(1—小宛南山;2—小西弓;3—跃进山;4—金庙井;5—新金厂;6—老金厂;7—拾金坡;8—照壁山;9—马莲井;10—210金矿;11—金窝子;12—马庄山;13—南金山;14—狼娃山;15—460金矿;16—扫子山;17—红石山北;18—甜水井);13—铜镍矿床及编号(19—黄山;20—黄山东;21—土墩;22—葫芦);14—铜矿床及编号(23—公婆泉铜矿;24—白山堂铜矿;25—辉铜山铜矿);15—重点研究区范围和红石山蛇绿岩套 AMT 深部探测剖面位置;A—四顶黑山一雀儿山晚古生代岛弧地体(浅海相火山岛弧带+深成岩浆弧带);B—苦水一红石山-百合山有限洋盆相+洋壳残片相;C—白山一狼娃山-黑鹰山晚古生代岛弧地体(浅海相火山岛弧带+深成岩浆弧带);D—晚古生代芨芨台子—小黄山有限洋盆和蛇绿岩块;E—北山中带晚古生代岛弧造山带;E1—马庄山石炭纪陆缘成熟岛弧带;E2—白山堂泥盆纪陆缘成熟岛弧;E3—马莲井-马鬃山-月牙山晚古生代造山带(深成岩浆弧带);F1—花牛山岛弧增生地体;F2—柳园-跃进山岛弧增生地体;F3—安北-旧寺墩陆缘构造带;G1—敦煌结晶基底构造层;G2—祁连山古生代褶皱带;G3—华北板块西缘;①—红石山-百合山-蓬勃山断裂和石炭纪蛇绿岩块;②—芨芨台子-石板井-小黄山断裂和石炭纪蛇绿岩块;③—花牛山-白山堂断裂;④—柳园-跃进山(二道井-红旗山)断裂;⑤—安北-桥湾断裂;⑥—阿尔金断裂;⑦—红柳河-星星峡北东向走滑断裂带

片麻岩、石榴子石斜长角闪岩、石榴子石黑云母片岩和大理岩。红柳峡花岗闪长质片麻岩(2376±68 Ma)和干沟花岗闪长质片麻岩(2057±75 Ma)、大水峡(1842±39 Ma)和三危山(1846±100 Ma)、大水峡一瓜州南(500~400 Ma)等,指示了原岩形成时代和构造一岩浆事件在 2.3 Ga、2.0 Ga、1.85 Ga、500~400 Ma $^{[19]}$ 。①在红石山蛇绿混杂岩带东南侧,敦煌岩群(Ar₃-Pt₁D)岩石组合为斜长角闪片麻岩、斜长角闪岩、角闪斜长片麻岩和变粒岩^①,呈构造岩片混杂在小红山岩组((Ar₃-S₃)D)中。②在四顶黑山一雀儿山北部构造带内,红岭混合岩一片麻岩(AnChH)^①位于小草湖北一红岭南西,在四顶黑山基性一超基性岩体南缘的脆韧性剪切带中可见残留体。与石炭系扫子山组和四顶黑山基性一超基性岩体呈断

层接触,被后期花岗岩体侵入。③在白山-狼娃山南部构造带内,斜沟地区残留的敦煌岩群(Ar₃-Pt₁D)呈构造岩片分布在石炭纪和二叠纪侵入岩体内。上述3套构造岩石地层构造变形相-变质相(下称构造型相)为流变褶皱-糜棱岩相+低角闪岩相,总体无序,多期构造面理(片麻理、糜棱面理、片理)置换强烈。

(2)中元古代—寒武纪中基底构造层(褶皱基底),包括中元古界长城系星星峡岩群、古硐井群和蓟县系平头山组、震旦系和寒武系^[20],呈构造岩片分布在星星峡—马鬃山—月牙山(图1)。古硐井群呈东西向分布在星星峡等地,石英岩中碎屑锆石年龄为1213±24 Ma^[21]。铅炉子沟群变碎屑岩夹火山岩,下部中基性火山岩具气孔和杏仁构造,夹碎屑岩和泥质岩。星星峡群由灰色大理岩夹石墨片岩、

黑云母角闪石英片岩及角闪片岩组成。塔里木北缘和敦煌地块北缘震旦系冰碛砾岩、震旦系一寒武系黑色硅质岩系等被动陆缘沉积体系,指示寒武纪存在统一古大陆。将它们归入中元古代—寒武纪中基底构造层(褶皱基底),与相邻地质体多以韧性剪切带为分隔界线。构造型相为断褶带+糜棱岩化相+绿片岩相。

(3)早古生代上基底构造层。中奥陶统咸水湖 组和志留系公婆泉群(S,G)为早古生代褶皱基底构 造层。①咸水湖组(O,x)以变余含砾粗粒长石岩屑 杂砂岩、变余凝灰质砂砾岩、变余含砾沉凝灰岩、变 玄武岩、变安山玄武岩、变安山岩、变英安岩及变沉 凝灰岩为主,其次为变安山玄武岩、变流纹岩,局部 夹结晶灰岩或大理岩,呈近东西向带状分布在依哈 托里地区,南侧与二叠系双堡塘组和泥盆系雀儿山 群呈断层接触:北侧与志留系公婆泉群呈断层接 触,华力西期侵入岩体产于咸水湖组中。咸水湖组 呈构造岩块镶嵌于北部晚古生代岛弧带,构造型相 为宽缓褶皱-断裂带+绿片岩相。②中志留统公婆 泉群(S,G)[22]呈近东西向带状分布在红石山蛇绿 混杂岩带以北和东侧,与蒙古南戈壁和奥尤陶勒盖 金铜矿区志留系可对比,岩石组合为灰绿色、深灰 色、浅灰色安山岩和凝灰岩,夹含珊瑚类生物化石 灰岩层,厚度大于 1955 m。公婆泉群分布在西蒙额 济纳旗黑鹰山和红石山东侧碎石山,在碎石山—圆 包山地区岩石组合为玄武岩、角闪安山岩夹英安 岩、粗面安山岩、流纹岩等,火山弧演化序列为基性火 山岩系→酸性火山岩系,火山岩层厚度达 4000 m^[20], 具有向上沉积水体变浅序列。③在塔里木东北缘 甘新接壤区,志留系为南天山构造带物质组成。在 哈密塔水北东志留系岩石组合为石英砂岩、粉砂 岩、凝灰岩、安山玢岩及少量灰岩。在红柳河火车 站西侧,志留系构造-蛇绿混杂岩带中,大型构造岩 块带发育,为早古生代板块碰撞带构造岩相学标 志。④中—上志留统黑尖山组和碎石山组均具有 向上变粗变浅的沉积序列,沉积环境从半深海-深 海→浅海相→滨浅海环境,晚志留世从早到晚海盆 收缩,水体变浅并逐步退出。⑤恢复早古生代构 造一古地理单元从南到北为(图1):红柳河一洗肠井 早古生代弧后裂谷盆地相→马鬃山-石板井早古生 代深成岩浆弧内弧花岗岩→公婆泉早古生代浅海 火山岛弧相→星星峡-明水前寒武纪中基底构造 层→四顶黑山-雀儿山早古生代浅海火山岛弧相(红石山地区),红石山地区构造型相为宽缓褶皱-断裂+糜棱岩相-绿片岩相。

1.2 晚古生代有限洋盆和石炭纪蛇绿混杂岩带: 华力西期构造层

从北到南,泥盆纪具有不同类型大地构造相, 指示了不同的构造-古地理单元类型。

(1)在四顶黑山-雀儿山北部构造带中(图1、 图 2), 小黑包-黑石山地区下泥盆统大南湖组 (D,d)为中性-中基性火山岩和火山沉积岩夹有少 量陆源碎屑岩系,厚度大于 1606.9 m。岩石组合为 灰绿色、深灰色辉石安山岩、安山岩、玄武岩、紫红 色安山质火山角砾熔岩及相应的火山角砾岩和凝 灰岩。在粉砂岩夹层含有腕足类、三叶虫、腹足类、 海扇类等化石, 腕足类属哈萨克斯坦的巴尔格什至 俄罗斯东北的鄂霍茨克腕足动物地理区,为旱泥盆 世中一晚期浅海环境[20]。从区域对比看:①在东天 山大南湖组为浅海相中性火山岩、火山碎屑岩夹碎 屑岩和灰岩,含较丰富的腕足类、珊瑚和三叶虫。 与上覆中泥盆统头苏泉组角度不整合接触。②在 东侧蒙古国 Nemegt-Altan Uul^[23] 和奥尤陶勒盖铜 金区[24],志留系中发育钙碱性火山-沉积岩系,顶部 为向上变粗变浅的沉积序列。泥盆系发育底砾岩 和粗碎屑岩系,指示从泥盆纪初开始了构造沉降和 沉积作用,为哈萨克斯坦板块南缘浅海相岛弧带。 ③雀儿山群(D₁₋₂Q)下伏地层为下泥盆统大南湖组 (D,d),上覆地层为头苏泉组(D,ts)。石炭纪浅海 相火山岛弧围绕泥盆纪火山岛弧持续增长。④泥 盆纪、石炭纪—二叠纪深成岩浆弧发育在早古生代 岛弧基底构造层之上,四顶黑山-雀儿山北部构造 带显现浅海相火山岛弧+深成岩浆弧叠加特征,为 哈萨克斯坦南缘晚古生代成熟岛弧带,在二叠纪演 化为陆缘岛弧造山带。

(2)在红石山中部构造带内石炭系海相火山岩、深水相火山-沉积体系等组成了有限洋盆内构造-沉积-岩浆系统,以石炭纪富钠质的钙碱性侵入岩为主。在红石山蛇绿混杂岩带东南侧,小红山岩组((Ar₃-S₃)D)构造混杂岩带相伴。红石山有限洋盆西与东天山苦水有限洋盆连接,东与西蒙百合山有限洋盆连接。石炭系扫子山组(C₁s)、绿条山组(C₁l)和白山组(C₁bs)具有"总体无序,局部有序",被卷入构造-蛇绿混杂岩带内。

654

(4)在红柳河-牛圈子-白云山-洗肠井南侧,白 云山地区上泥盆统墩墩山组呈近东西向分布于蛇 绿岩带两侧,岩石组合为底砾岩、岩屑砂岩、安山 岩、英安岩、英安质角砾熔岩及英安质凝灰岩。北 山中部晚泥盆世陆缘弧为花岗闪长岩(英安岩)和 二长花岗岩(流纹岩),与柳园弧后洋盆向北俯冲有 关,俯冲洋壳+地幔楔及增生弧体为晚泥盆世墩墩 山期火山岩主要源区,洋壳及弧增生体部分熔融是 北山中部晚泥盆世陆壳增生的方式之一;英安质角 砾熔岩及英安质凝灰岩形成年龄分别为 368.1±1.8 Ma 和 363.5±2.5 Ma^[25]。北山中带在红柳河-牛圈 子-白云山-洗肠井以北曾存在经剥蚀和消失的造 山带,发育同碰撞造山期泥盆纪火山-磨拉石相[26]。 在明水-马鬃山-石板井形成断块造山带、泥盆纪侵 入岩带和混合岩化带、墩墩山泥盆纪火山断陷盆地 和磨拉石相、同碰撞造山期(O,-D)等相关的大地 构造相[26-28]。在北山南带墩墩山中泥盆统三个井 群砾岩内,在硅质岩砾石中含奥陶纪放射虫.蚀源 岩区为墩墩山以北的红柳河-牛圈子隆升剥蚀 区[28],证实造山带物质在泥盆纪被剥蚀和再循环, 将含奥陶纪放射虫硅质岩砾石搬运到同碰撞期 中一晚泥盆世前陆磨拉石相盆地中。

总之,泥盆纪具有山弧盆耦合转换格局,从北 到南大地构造相水平分带为四顶黑山-雀儿山泥盆 纪浅海火山岛弧相+深成岩浆弧相→红石山泥盆纪 深成岩浆弧+构造岩块(北山北带)→泥盆纪岛弧造 山带+脆韧性剪切带(北山中带)→同造山期泥盆纪 磨拉石相盆地(北山南带)。石炭纪大地构造相类 型本文后续详细论述。研究区二叠纪为深成岩浆 弧和陆内挤压走滑造山过程,在弧-陆碰撞造山 期,局部断陷伸展转换成盆为二叠纪弧后前陆盆 地演化期。在大地构造单元上,北山北带属中亚 造山系北山造山带,位于哈萨克斯坦板块南缘与 华北板块北缘拼合部位,以红石山蛇绿混杂岩带为 标志。在区域构造-古地理单元恢复基础上(图1), 将甘肃红石山地区从北到南恢复为 4 种类型的大地

构造相,划分为3个构造带(图2)。北部构造带为 四顶黑山-雀儿山晚古生代岩浆弧相:中部构造带 为红石山-百合山 SSZ 型蛇绿构造混杂岩带,恢复 为晚泥盆世—石炭纪有限洋盆相+洋壳残片相:南 部构造带为白山-狼娃山晚古生代火山弧盆+岩浆 弧相。

1.3 新生代陆内构造层

- (1)印支期构造层为中-新生代陆内构造-岩 浆-热事件的构造岩相学记录,沿红石山蛇绿混杂 岩带形成走滑-逆冲推覆作用,以三叠纪深成岩浆 侵入和地壳垂向增生为主。
- (2)燕山期构造层在红石山地区主要为陆内构 造变形,在西蒙和蒙古南部发育侏罗纪—白垩纪陆 内裂谷盆地,红石山北侧发育陆相次火山岩-酸性 侵入岩和白垩纪陆内断陷盆地。
- (3)喜马拉雅期构造层。古近纪蒙古高原抬升 显著,以新近系苦泉组和第四系戈壁沙砾和风沙沉 积物为标志,揭示了蒙古高原剥蚀夷平过程中,形 成闭流高原盆地。
- 北部构造带:四顶黑山-雀儿山晚古生代 岛弧带

2.1 四顶黑山-雀儿山晚古生代火山岛弧带特征

四顶黑山-雀儿山晚古生代陆缘成熟岛弧带由 浅海火山岛弧+深成岩浆弧组成,发育在早古生代 基底构造层(岛弧型地壳)之上。下泥盆统大南湖 组(D,d)底部粗碎屑岩系分布在早古生代岛弧型地 壳上。大南湖组(D,d)、雀儿山群(D,Q)和头苏 泉组(D₂ts)呈断层接触。晚石炭世—早二叠世近东 西向深成岩浆弧内,侵入岩体呈同心圆状和不规则 状。下二叠统双堡塘组(P₁ sp)为狭长带状,呈角度 不整合分布在前二叠纪地层之上。雀儿山晚古生 代陆缘成熟岛弧带南侧界线为红石山有限洋盆北 缘,雀儿山群(D₁₀Q)被卷入红石山构造蛇绿混杂 岩带北侧外缘带。上新统苦泉组(N,k)呈北东向和 近东西向叠置在雀儿山晚古生代陆缘成熟岛弧带 之上,显示经历了显著陆内新生代构造运动和构造 侵蚀作用。

(1)雀儿山群(D₁₋₂Q)由中基性、中性、中酸性、 酸性火山岩和相应成分的火山碎屑岩,夹正常沉积 陆源碎屑岩、少许碳酸盐岩等。雀儿山群中富含腕 足类、珊瑚、三叶虫、腹足类、海百合茎等生物化石,

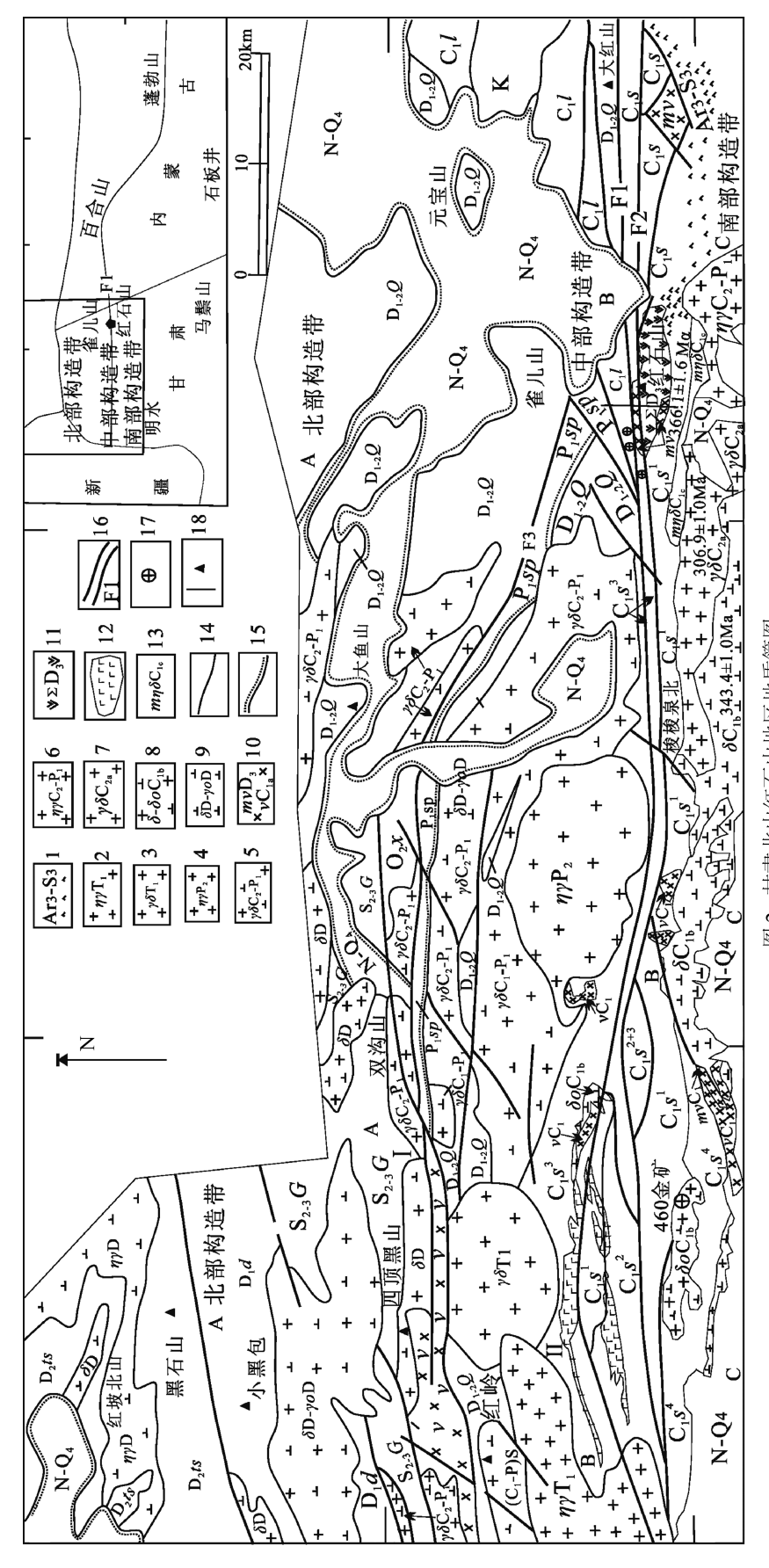


图2 甘肃北山红石山地区地质简图 (由金米立時仍称光)

(据参考文献①修改) Simplified geological map of the Hongshishan area

Ma,本文:11—晚沉盆世红石山超基性岩体(ΣD3):12—扫子山组内变基性火山岩和基性熔岩;13—早石炭世糜棱岩化二长花岗岩 (*mm*0C₁c),336.8±1.4 Ma,糜棱岩相,本文:14—地质界 本文:8—早石崁世460金矿石英闪长岩 (3C,b) - 斑状石英闪长岩 (3oC,b) - 辉长岩 (vC,a) 序列:340.4±3.9~341,4±3.3 Ma^(u),334.1±3.8 Ma^(u)。红石山细粒黑云二长花岗岩 *(mm3C,c)*,336.8±1.4 Ma,本文:9—泥盆纪闪长岩(3D)-英云闪长岩(50D)序列,380.4±3.7 Ma¹²¹:10—晚泥盆世-早石炭世红石山基性杂岩体(*m*vD,—VC,—∑D,),*m*vD,—晚泥盆世糜棱岩化辉长岩,红石山南 侧藤棱岩化辉长岩(mvD,) (366.1 ± 1.6 Ma,LA-ICP-MS锆石U-Pb年龄,本文: vC.—早石崁世辉长岩,红石山北侧辉长岩,346.6 ± 2.8 Ma^{ts)}。细粒石英黑云角闪闪长岩 (8C,b),343.4 ± 1.0 N-Q₄—第四系-新近系,K—白垩系,P,sp—双堡塘组,299.4±5.9Ma^{Bil};C₁bs—白山组,322.0±4.3Ma^{Isi};C₁s—扫子山组;C₁I—绿条山组;D₂ts 7—头苏泉组;D₁₂Q—雀儿山群;D₁d— 大南湖组;S₂₃G—公婆泉群;O₂x—咸水湖组;1—前泥盆纪小红山构造岩片(At₅-S₃);2—早三叠世小草湖序列(m/T₁);3—早三叠世马鞍山序列(poT₁);4—中二叠世干河梁序列(m^p2); 5—晚石炭世-早二叠世四顶黑山-双沟山南序列(yðC,-P,),327±9.0 Ma: 6—晚石炭世-早二叠世红石山南花岗岩(yŋC,-P,)序列: 7—晚石炭世红石山西南花岗闪长岩(yðC,a),306.9±1.0 Ma, 线:15—不整合接触界线:16—断层(F1和F2—红石山断裂带,F3—四页黑山-双沟山断裂);17—金矿床和金矿点;18—AMT物探测深剖面位置和地名点:A—四页黑山-雀儿山晚古生

代岛弧带 (浅海相岛弧带+深成岩浆弧),B—红石山晚石炭世-石炭纪有限洋盆+洋壳残片,C—白山-狼娃山晚古生代深成岩浆弧+浅海岛弧带

指示了滨-浅海沉积环境:安山岩、英安岩和流纹岩 属富钠的钙碱-碱性系列中酸性火山岩,推测为哈 萨克斯坦洋壳向南俯冲消减于塔里木-华北板块之 下,洋壳板片俯冲消减作用形成富钠质的火山 岩[29]。头苏泉组呈近东西向展布,为一套中性钙碱 性火山岩夹少量砂岩及灰岩,厚度大于 280 m,主要 岩性为深灰色安山岩、安山质晶屑凝灰岩、凝灰质 砂岩及深灰色含生物碎屑灰岩,以温暖浅海地带群 居型珊瑚和海百合茎等底栖古生物为主,指示了哈 萨克斯坦板块南缘的浅海相岛弧带。从东天山、北 山北带、西蒙和蒙古南戈壁纵向综合对比看,哈萨 克斯坦板块南缘在泥盆纪向南俯冲消减,东天山苦 水-甘肃红石山-西蒙百合山石炭纪有限洋盆北侧 为晚古生代成熟岛弧带,东延到内蒙古东乌旗。东 天山大南湖组为海相岛弧沉积,中泥盆统头苏泉组 为陆相火山碎屑系夹流纹质火山泥球凝灰岩和煤 线,呈角度不整合于大南湖组之上,同期北天山洋 盆闭合过程,形成准噶尔板块南缘早古生代弧沟系 统的俯冲拼贴增生楔[30]。与甘肃明水-马鬃山-石 板井泥盆纪造山过程和同造山期泥盆纪火山-磨拉 石相盆地[26-28] 具有时间域上的对应关系。

656

- (2)下石炭统扫子山组下岩段为变岩屑杂砂岩 夹黑云绢云千枚岩、绢云千枚岩、黑云母斑点板岩 等:变岩屑杂砂岩为低成熟度陆源粗碎屑岩,底部 含砾较多,向上粒度逐渐变细且泥质岩夹层增多, 指示晚泥盆世—早石炭世初沉积水体逐渐增深。 扫子山组上岩段以含粉砂泥质板岩、千枚状板岩、 炭泥质板岩、炭硅质板岩等变粉砂泥质岩为主,夹 变岩屑长石杂砂岩,局部夹变英安岩、变安山玢岩、 变凝灰岩、变沉凝灰岩等。深水相细碎屑岩+炭泥 质岩+炭硅质岩组合指示了有限洋盆主成盆期的滞 流还原沉积环境,伴有较强的安山岩-英安岩双峰 式火山岩与弧内伸展作用。在扫子山组与侵入岩 体接触带中发育灰黑色黑云母角岩化相+微晶石墨 相+斑点状黑云母板岩和千枚岩等接触热变质相。
- (3)二叠纪弧陆碰撞带与弧后前陆盆地。双堡 塘组呈狭长带状东西向展布,微角度不整合于雀儿 山群和石炭系之上,被中一晚二叠世花岗岩侵入。 双堡塘组为海相陆源碎屑岩系夹灰岩透镜体,下部 局部夹有基性火山岩,厚 1009~3126 m。岩石组合 为中细粒砂岩和页岩,少量砾岩;灰岩和砂质灰岩 中富含腕足类、菊石类、腹足类、珊瑚等化石,双堡

塘组从下到上具有"粗→细→粗"夹基性火山岩,以 及弧后前陆盆地层序结构,推测在残余海盆基础上 演化为弧后前陆盆地,它们为弧陆碰撞过程的沉积 学记录。红石山地区北侧公路边双堡塘组英安质 晶屑凝灰熔岩形成年龄为 299.4±5.9 Ma[31]。该构 造带内发育二叠纪和三叠纪花岗岩侵入岩体,具有 较大规模的地壳垂向增生作用[33-35]。

2.2 四顶黑山-雀儿山晚古生代深成岩浆弧特征

- (1)四顶黑山弧花岗岩侵入体为花岗岩(myD) 和英云闪长岩 $(\gamma_0 D)$,在地表呈不规则状产出,侵位 于中元古界片岩-变火山岩、奥陶系变玄武岩和泥 盆系雀儿山群;西与东天山觉罗塔格构造岩浆带东 端相接。花岗岩具有高硅、高碱(K,O=3.35%~ 4.68%, Na, O = 2.26% ~ 3.85%)、富铝,以及低 MgO、CaO、TiO2、P2O3特征, A/CNK 值为 0.83~ 1.00(准铝质型),负 Eu 异常较明显(δEu = 0.70~ 0.73)。该岛弧型花岗岩形成年龄为380.4±3.7 Ma, 具有成熟岛弧带特征,属觉罗塔格洋向南俯冲过程 的产物[32]。在四顶黑山晚泥盆世花岗岩体两侧分 布早石炭世镁铁-超镁铁质岩体,指示早石炭世具 有显著的岛弧伸展作用,与南侧红石山有限洋盆成 熟期具有区域构造协调性。
- (2)四顶黑山基性-超基性杂岩沿四顶黑山-双 沟山幔型断裂带断续分布,侵入于上石炭统梧桐窝 子组和下一中泥盆统雀儿山群中,接触变质不明 显,仅局部发育角岩化相。岩石组合为辉长岩、角 闪辉长岩、橄榄辉长岩、苏长岩、单辉橄榄岩、单辉 辉石岩、角闪石岩等,超镁铁质岩 m/f 值为 1.60~ 2.17,为低钛(TiO2<1.0%)系列,形成年龄为 327± 9.0 Ma^[36],属早石炭世晚期谢尔普霍夫阶。铜矿化 体赋存于上部辉石岩和橄榄岩中,镍矿化赋存于超 基性岩下部和底部橄榄岩、橄榄辉长岩中。在活动 大陆边缘局部张裂环境内,地幔玄武质的科马提质 岩浆在局部张裂环境沿断裂多期次脱离地幔而上 侵,形成四顶黑山基性-超基性杂岩,地幔源区具有 斜长石-角闪石地幔岩[37]。

2.3 四顶黑山-雀儿山晚古生代岛弧带的构造变形 特征

(1) 雀儿山-红尖山复背斜具有"南陡北缓"的 几何学特征, 指示了自北向南的挤压应力场特征, 总体轴向为东西向,长 75 km,南北宽 16~20 km,南 翼倾角 60°~70°,北翼倾角 30°~50°,由次级紧闭背 斜和开阔舒缓的向斜组成。在雀儿山群内部,褶皱规模长约5000 m,轴面近东西向,宽1000~2000 m,两翼倾角60°~70°,具有中常斜歪倾伏褶皱特点^①。

- (2)红石山西北侧 1524 高地背斜南翼倾向南 东-南,倾角为 66°~70°, 由雀儿山群(D₁₋₂Q)、上 石炭统干泉组和下二叠统双堡塘组组成。北翼倾 角为 47°~64°, 由雀儿山群、干泉组和双堡塘组组 成。晚石炭世—早二叠世花岗闪长岩(γδC,-P₁)沿 该背斜核部侵位。①在1524高地背斜北翼,雀儿 山群向南高角度逆冲,导致双堡塘组产状变陡,为 北倾 89°,局部反转为南西倾向,倾角 41°,或倾向北 向,倾角67°,指示了北西走向的高角度斜冲走滑断 裂运动学特征。②红石山西北侧 1524 高地背斜南 翼双堡塘组内发育北东走向次级褶皱和断裂带,造 成南翼地层破坏程度明显高于北翼地层,揭示南翼 具有较大的构造强度。③ 1524 高地背斜南翼双堡 塘组南侧逆冲于下石炭统扫子山组第一岩性段之 上,二者呈断层接触,二者产状相反,双堡塘组南侧 倾向北,倾角 59°~75°;扫子山组第一岩性段倾向南 东,倾角58°~69°。双堡塘组发育北东走向次级褶 皱,为断层相关褶皱,指示红石山西北侧 1524 高地 背斜南翼向南发生了逆冲推覆构造作用。总之.红 石山西北侧 1524 高地背斜核部为雀儿山群,向两翼 分别为干泉组和双堡塘组,在晚古生代为同生披覆 背斜,晚石炭世—早二叠世花岗闪长岩 $(\gamma\delta C_0 - P_1)$ 侵位以底拱褶皱作用再次强化。印支期在南北向 主挤压应力场下,南翼发生了南向逆冲推覆构造作 用,双堡塘组内发育的北东走向次级褶皱为断层相 关褶皱;北翼叠加了北西走向的高角度斜冲走滑 断裂。
- (3)泥盆纪—二叠纪经历了 4 期构造演化。① 双堡塘组底砾岩与下伏干泉组为局部不整合面,与晚石炭世构造抬升事件有关。② 石炭纪—二叠纪经历了深成岩浆弧叠加,形成底拱褶皱和韧性剪切带,也是岛弧反转构造带的构造样式和物质组成。③ 印支期经历了南向逆冲推覆构造作用,形成红石山西北侧 1524 高地背斜,同期在双堡塘组形成断层相关褶皱。④ 早白垩世陆相次火山岩叠加侵位与陆内断陷成盆相变。在燕山期—喜马拉雅期叠加了脆性构造变形。
- (4)构造型相揭示经历了3期构造变形-变质事件。①第一期泥盆纪局域化脆韧性变形-变质事件,

- 形成矿物定向排列和显著的构造面理(S₀//S₁),矿物 拉伸线理为 330° ∠ 20°,晚石炭世—早二叠世构造型相为断褶带糜棱岩相+角岩化相+绿片岩相,经晚石炭世—早二叠世深成岩浆弧中构造 -岩浆 -热事件形成。②第二期为侵入地层内的细粒花岗岩发生了脆韧性变形,形成 S-L 透镜体和香肠化,构造面理产状为 0°~30° ∠50°~70°。印支期构造型相为冲断褶皱带糜棱岩化相+低绿片岩相。③第三期脆性变形事件形成密集破劈理,破劈理产状为320°~0° ∠40°~45°,燕山期构造型相片理化相-劈理化相+粘土化蚀变相。早白垩世形成陆相次火山岩侵人构造和粘土化蚀变相带。
- (5)在四顶黑山-雀儿山北部构造带中,构造局域化分形作用显著,构造型相具有"南强北弱"的特点,自北向南的次级构造样式和构造组合分带清晰,构造变形强度依次为:北缘为宽缓向斜+晚石炭世—早二叠世花岗闪长岩岩株和岩脉群→中部为晚石炭世—早二叠世花岗闪长岩(γδC₂-P₁)底拱侵位褶皱作用带+糜棱岩化相带→南缘为逆冲推覆构造和断层相关褶皱带,中部和南缘被卷入红石山构造-蛇绿混杂岩带中,指示自北向南的挤压收缩作用和逆冲推覆构造作用。
- 3 中部构造带:红石山晚古生代有限洋盆与 构造混杂岩带

3.1 石炭纪有限洋盆与弧-盆体系

构造-蛇绿混杂岩带代表了洋盆单元和相关地质体,形成于有限洋盆、弧后盆地等不同构造单元,采用不同岩性-填图单位进行调查和研究[1-5,38],以揭示其物质组成和形成演化史。红石山地区晚古生代有限洋盆及两侧弧-盆体系的相关地质体(图2),由石炭系、晚泥盆世变超基性岩和基性侵入岩、石炭纪侵入岩等组成。下石炭统扫子山组分布在红石山蛇绿混杂岩带北侧,其南侧为白山组和石炭纪一二叠纪侵入岩,小红山岩组以构造岩块形式存在,它们均卷入红石山构造-蛇绿混杂岩带内。

在骆驼峰—霍勒扎德盖—扫子山一带,下石炭统扫子山组(C₁s)现今呈东西向带状分布(图 2),扫子山组为浅变质碎屑岩、沉凝灰岩夹硅质岩、玄武岩、安山岩等,总厚度 6631.2 m。根据第四岩性段早石炭世古孢子化石^[39] 和野马泉扫子山组底部含砾砂岩中灰岩砾石的早石炭世早期珊瑚化石^[40],

GEOLOGICAL BULLETIN OF CHINA

扫子山组具有早石炭世火山岛弧带构造-火山-沉 积体系特征,是哈萨克斯坦板块南缘火山弧内地层 系统。下石炭统扫子山组可划分为4个岩性段,总 厚度为 6631.2 m^[39]。①第一岩性段(C₁ s¹)厚 1321.6 m,岩石组合为灰绿色变安山质凝灰岩、变凝 灰质砂岩、凝灰质板岩、粉砂质板岩、绢云千枚岩、 绢云绿泥千枚岩、片理化安山岩、泥硅质板岩、灰黑 色硅质板岩,钙碱性玄武岩-安山岩和相应的中基 性-中性火山碎屑岩发育,夹少量碳酸盐岩;发育火 山沉积相、火山溢流相、火山爆发-溢流相等。在红 石山北侧,英安质糜棱岩相(376 Ma, LA-ICP-MS 锆石 U-Pb 年龄,未刊数据,下同)之上,扫子山组以 浅紫红色铁泥硅质岩+钙屑铁泥硅质岩+浅红色赤 铁碧玉岩,属洋盆平原相沉积,推测英安质糜棱岩 为红石山有限洋盆内英安质凝灰岩或英安岩经过 构造变形加积形成,属构造混杂岩相。②第二岩性 段(C₁s²)厚372.2 m,厚度变化较大,且厚度明显增 大。岩石组合为灰绿色强蚀变玄武岩、暗紫色和紫 红色硅质岩、紫红色硅质板岩、灰绿色粉砂质板岩、 灰色长石石英砂岩。下部含砾较多,向上砾石含量 降低变细,炭质含量明显开始增加。在向上变细的 火山浊流沉积体系中,伴有少量岛弧型安山玢岩和 英安质熔岩夹层:该岩性段侵入较多的灰绿色蚀变 辉长岩和闪长玢岩脉,周边发育劈理化相、黑云母 角岩相和斑点状黑云母角岩化相。在红石山地区 西北侧扫子山组二段内发育同生滑移褶皱群落、同 生断裂相带和同生角砾岩相带,指示曾发生了2期 同生断裂活动并导致洋盆边缘发生了同生滑塌沉 积,同生滑移褶皱群落总体指向自西向东发生同生 滑移再沉积,属该期洋盆伸展断陷成盆的构造-沉 积学响应。③第三岩性段($C_1 s^3$)厚 4711.7 m。岩 石组合为灰绿色蚀变玄武岩、绿泥石千糜岩、糜棱 岩化青磐岩化蚀变玄武岩、紫红色铁质硅质岩-紫 灰色铁硅质岩-灰黑色硅质岩、碳酸盐化铁质硅质 岩、浅灰色和灰黑色硅质板岩、含炭泥硅质板岩、中 细粒砂质板岩、粉砂质板岩、钙质泥质板岩、浅灰色 中细粒岩屑石英变砂岩、黑云绢云硅质板状千枚 岩。该段以变中基性-变基性火山岩夹硅质岩和铁 碧玉岩、与硅泥质粉细砂岩-硅泥质岩共生为特色, 以深水环境中紫红色-红色薄层状和纹层状硅质泥 岩-泥硅质岩相(深海红色硅泥层-泥硅层)为洋盆 平原相沉积标志,它们为有限洋盆主成盆期(有限

洋盆深水相+变基性火山岩相)构造-火山-沉积的 产物。同时,该段内糜棱岩相-糜棱岩化相-千糜岩 相发育,构造动力变质作用强烈,指示扫子山组被 卷入红石山构造-蛇绿混杂岩带中。④第四岩性段 $(C_1 s^4)$ 厚约 1547.33 m, 灰绿色、浅灰绿色晶屑凝灰 岩、灰绿色片理化安山岩、灰绿色安山质沉凝灰岩、 变凝灰质砂岩、泥硅质板岩、灰黑色硅质板岩、凝灰 质板岩、粉砂质板岩、绢云千枚岩、绢云绿泥千枚 岩。含炭粉砂泥质岩向上炭质含量增加,揭示沉积 水体逐渐变深,为滞流强还原深水相。上部为微晶 石墨炭质层(含炭质为10%~25%)、少量岛弧型安 山玢岩和英安质熔岩夹层。⑤ 上石炭统干泉组与 扫子山组(C₁s)具有显著的构造岩相学差异,揭示 二者之间存在重大构造岩相学事件,干泉组底部与 扫子山组为火山喷发不整合接触,二者之间以古风 化层为界线;在干泉组火山锥相和周缘火山浊积扇 相、海岸火山锥相、滨岸火山浊积扇相等安山质火 山岩相体地层内,发育节理、裂隙、宽缓褶皱、断裂 等脆性构造变形型相,干泉组安山质火山岩相体地 层为岛弧造山带环境形成的安山岩系:而下伏扫子 山组以面理置换、流变褶皱、韧性剪切带等韧性变 形型相为主:指示了早一晚石炭世间构造挤压和抬 升事件,造成红石山有限洋盆在晚石炭世强烈萎缩 变浅。

总之,①扫子山组一段钙碱性中基性-中性火 山岩夹碳酸盐岩组合,指示早石炭世扫子山期初为 滨浅海相火山岛弧环境,向上以绿色夹红紫色层纹 状硅质岩和细碎屑岩组合为标志,指示了盆地深水 相环境。②含炭泥硅质板岩和含炭粉砂泥质岩指 示了主成盆期内滞流还原的深水相,这种构造岩相 学垂向相序结构指示,红石山有限洋盆在洋壳扩张 脊形成超基性岩后,蛇绿岩套(洋壳残片记录)顶部 的深水相硅质岩-细碎屑岩。③深水相含炭泥质 岩、硅质岩和硅泥粉细砂岩,与变中基性-基性火山 岩和蛇绿岩套、富钠质基性火山岩、富钠质辉长岩-富钠质闪长岩,为红石山晚泥盆世—早石炭世有限 洋盆和相关地质体。④早—晚石炭世构造挤压和 抬升事件,造成红石山有限洋盆在晚石炭世强烈萎 缩变浅,上石炭统干泉组安山岩系为岛弧造山带中 形成的火山岩系。

3.2 460 金矿区石炭纪富钠质的钙碱性侵入岩与 深成岩浆弧

在肃北县 460 金矿区内发育富钠质的钙碱性系

列侵入岩体,包括石英闪长岩($\delta o C_{th}$)和斑状石英 闪长岩(δo C_{1b})、花岗闪长岩($\gamma \delta$ C_{1b})、黑云母斜长 花岗斑岩等。花岗闪长岩为富钠质的钙碱性系列, 具有高 Al、高 Sr 和 Sr/Y 值,低 Y 和 Yb,属埃达克质 花岗闪长岩,形成年龄为 340.4±3.9 Ma、340.5± 3.3 Ma、340.9±3.9 Ma、341.4±3.3 Ma,460 金矿床属 浅成低温热液型金矿床[41]。石英闪长岩属富钠质 的钙碱性系列,具有高 Al、高 Sr 和 Sr/Y 值,低 Y 和 Yb 特征,为接近原始埃达克岩浆的典型埃达克岩, 具有洋壳板片熔融的岩石成因特征,形成年龄为 334.1±3.8 Ma^[42]。在 460 金矿区和外围,基岩地球 化学异常元素组合为 Au-Ag-Cu-Mo-Hg, 异常源 为含金石英脉(Au>1000×10⁻⁹)、碎裂状花岗斑岩 (平均含 Au 为 102×10⁻⁹, n=22, 最高为 Au>1000× 10^{-9})、黑云母斜长花岗斑岩(Au = 15×10^{-9} , n = 38, 最高 Au 为 110×10⁻⁹)、闪长玢岩(Au = 155×10⁻⁹, n=27,最高为 Au>1000×10⁻⁹)、磁铁赤铁碧玉岩等, 围绕黑云母斜长花岗斑岩形成内带 Au-Ag-Cu-Mo-Hg-As→中带 Au-Cu-Mo→外带 Ni-Zn-Cr-V-Ti,在碎裂状花岗斑岩和闪长玢岩中发育低品位 金矿体,伴生 Mo 矿化,具有寻找石英脉型金矿和隐 伏斑岩型金铜钼矿床的潜力。发育富钠质钙碱性 系列闪长岩侵入岩-花岗闪长岩系列,它们是形成 与闪长岩有关的大型斑岩铜金矿床和大型浅成低 温热液型金矿床的有利条件,在肃北县 460 金矿区 已经圈定了面状 Au-Ag-Cu-Mo 岩石地球化学异 常,与含金蚀变花岗斑岩脉和含金蚀变闪长岩密切 相关,外围也发育带状 Au-Ag-Cu-Mo 综合异常, 具有寻找斑岩型金铜矿的潜力[59]②。

3.3 红石山蛇绿混杂岩带物质组成与深部结构 探测

(1)红石山蛇绿混杂岩带在物质域(ΣM)一时间域(t)一空间域(S)与周缘地质体具有不同的构造岩相学边界。①红石山蛇绿混杂岩位于敦煌地块北缘,由构造岩块(如基性一超基性岩)、构造岩片(如蛇纹石片岩、片理化糜棱岩化相辉长岩等)、强变形盆地深水相系、强变形陆缘海盆相系、构造混杂岩带(卷入强变形域内的不同时代地层)、构造变形带(糜棱岩化相辉长岩等)、后期叠加构造变形相系七大系列的构造岩相学单元组成。②在时间域上,以红石山蛇绿混杂岩中心为构造岩块,与周边构造岩片和基质强变形单元呈镶嵌结构。南侧为

糜棱岩化辉长岩(366.1±1.6 Ma, LA-ICP-MS 锆石 U-Pb 年龄,未刊数据),揭示晚泥盆世法门阶为地 幔热物质涌出侵位,晚泥盆世—早石炭世杜宪阶为 红石山有限洋盆主成盆期的洋脊扩张高峰期。红 石山蛇绿混杂岩带南侧灰绿色细粒石英黑云角闪 闪长岩(343.4±1.0 Ma,未刊数据)与蛇绿岩套内辉 长岩形成年龄(346.6±2.8 Ma)[45]相近,推测为洋壳 物质分异形成,并持续分异出浅褐色细粒黑云二长 花岗岩(336.8±1.4Ma,未刊数据)。现今蛇绿混杂 岩呈大型透镜状基性-超基性岩体(岩块单元),脆 韧性剪切带发育(基质单元,变基性-超基性岩)。 在地表几何学特征为大型 S-L 透镜体状,长轴呈近 东西向展布,长 13.7 km,宽 100~3000 m。两侧与 扫子山组火山-沉积岩系呈韧性断裂相接触。构造 岩片由多个无根的构造透镜体组成。在构造-蛇绿 混杂岩带内印支期花岗岩体红石山超单元侵入岩 叠加。在燕山期—喜马拉雅期以垂向断隆-断陷改 造为主,发育碎裂岩化相。红石山蛇绿杂岩带经历 了二叠纪和中三叠世花岗岩侵入(237.8~240 Ma)[46] 和印支期构造变形、变位事件后, 最终构造 定位的复杂相体结构。③ 在空间域上具有自北向 南的构造单元分带性,在构造-蛇绿混杂岩带北侧 外缘带,将雀儿山群卷入并以韧性断裂为北界线, 在雀儿山群内脆韧性剪切带为构造混杂岩带与相 邻地质体界线。北侧雀儿山群与周边石炭系和二 叠系均为断层接触,以逆冲推覆构造和断层相关褶 皱为红石山构造-蛇绿混杂岩带北部外缘带。在北 中部带卷入了下石炭统扫子山组和绿条山组,形成 了强—中—弱变形构造分形样式。绿条山组发育 逆冲推覆构造和断层相关褶皱,向斜构造变形强 烈。中心带为红石山蛇绿混杂岩带。南中部带将 小红山岩组全部卷入,小红山岩组为构造混杂岩带 的南中部带物质组成之一,向西突然相变为扫子山 组第三岩性段,向东突然相变为志留系构造岩块。 南外缘带卷入地层为下石炭统白山组。④ 从北到 南红石山构造-蛇绿混杂岩带具有不对称的构造岩 相学分带,北外缘带(雀儿山群+双堡塘组)→北中 部带(扫子山组+绿条山组)→中心带(红石山变形 变位后的蛇绿岩套)→南中部带(小红山岩组)→南 外缘带(白山组)。

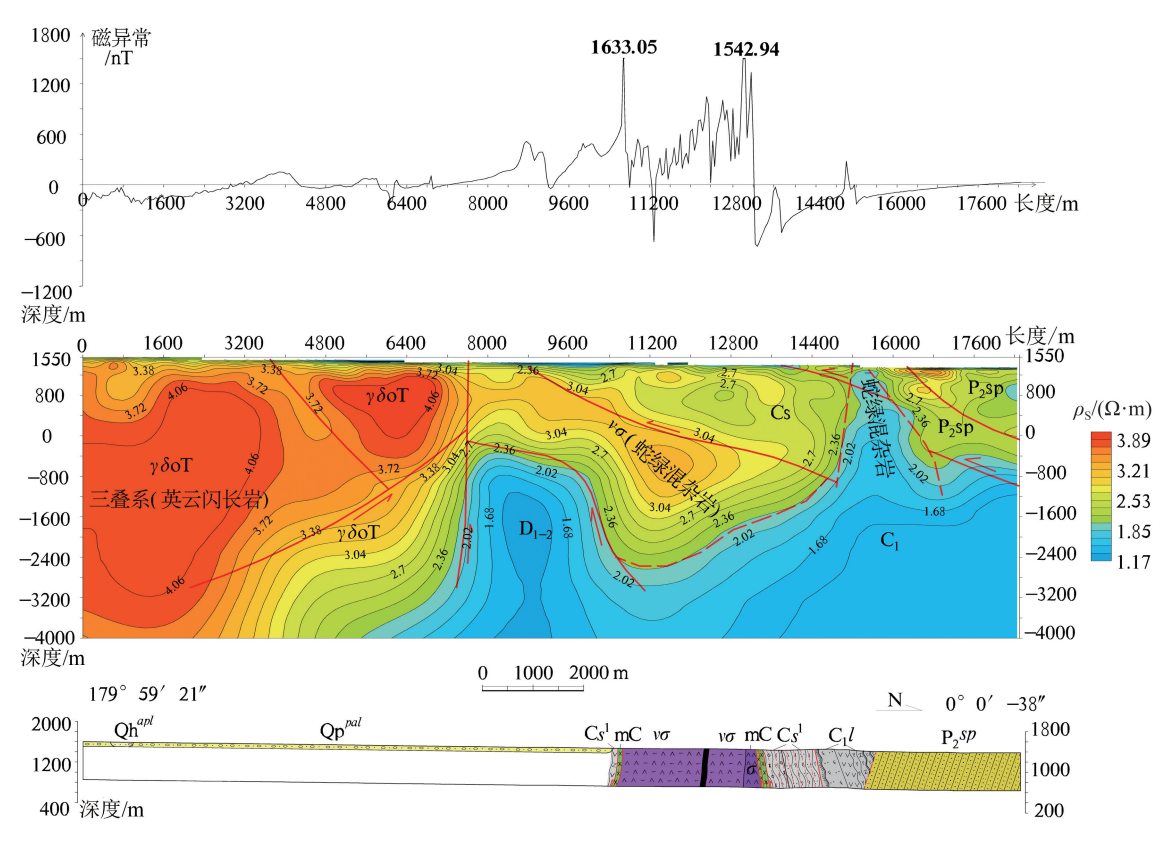
(2)在现今平面水平分带上,红石山蛇绿混杂岩带从北向南的4个构造岩相学水平分带为:① 糜

棱岩化相辉长岩(νmC₁)-辉长岩(νC₁)呈构造岩片 分布在边缘:② 北缘辉橄岩(σ)-纯橄岩(Σ)-糜棱 岩化相纯橄岩(∑m)外侧与糜棱岩化相辉长岩接 触:③北中部纯橄岩(Σ)-中细粒单辉辉橄岩($\nu\sigma$) 岩相带, 析离体状纯橄岩中发育铬铁矿化; ④中心 部位为纯橄岩(Σ)-斜辉辉橄岩-粗粒单辉辉橄岩 $(\psi\sigma)$ 岩相带,它们为超基性岩体主体部位,面积约 11 km²。岩石组合为单辉辉橄岩-斜辉辉橄岩(νσ)-纯橄岩-辉石岩(ψ),纯橄岩多呈不规则和长条状析 离体形,发育铬铁矿矿化体:⑤南缘纯橄岩-中细粒 斜辉橄榄岩岩相带位于南部边缘,发育铬铁矿化。 从西到东可划分为6个构造岩相带:① 糜棱岩化相 辉长岩(νmC₁)相→② 辉橄岩(νσ)→③ 中三叠世 黑云母二长花岗岩 $(\eta\gamma\beta T_1)\rightarrow 4$ 糜棱岩化相纯橄 岩 (Σm) → ⑤ 糜棱岩化相辉长岩 (νmC_1) → ⑥ 辉橄 岩(σ)。虽然遭受中三叠世黑云母二长花岗岩侵入 叠加破坏,蛇绿岩套似环形岩相学分带特征依然 保存。

(3)在红石山地区北侧,根据物探磁异常和构 造岩相学综合解释(图3、图4),推测深部存在隐伏

玄武岩,与遥感色彩异常圈定的地面羟基异常带和 铁化蚀变带吻合。在地面路线构造岩相学调查过 程中,发现蛇纹石片岩和透闪石蛇纹石片岩具有较 高的磁化率异常,15.5×10⁻³~17.7×10⁻³ SI,磁化率 较高与磁铁矿-蛇纹石相密切相关。浅色辉长岩磁 化率为 1.21×10⁻³~3.78×10⁻³ SI。随着透辉石和透 闪石含量增高,磁化率显著降低,透辉石岩磁化率 为 0.38×10⁻³ ~ 1.20×10⁻³ SI.透闪石岩磁化率为 0.92× 10⁻³~1.33×10⁻³ SI,以透闪石相为流体交代作用标 志,指示随着剪切带内羟基蚀变增强,磁化率显著 减弱。磁铁矿蛇纹石片岩和透闪石蛇纹石片岩分 布在韧性剪切带内,发育大型 S-C 组构、置换剪切 面理、蛇纹石质糜棱岩等,揭示曾经历了强烈的韧 性剪切变形,为超基性岩单元物质组成,现今以蛇 纹石质糜棱岩(基质单元)分布在地表。

总之,中心部位为超基性岩构造岩块单元,以 糜棱岩相辉长岩和蛇纹石片岩为包络面的构造岩 片(基质单元),结合区域构造岩相学综合对比看, 红石山地区在石炭纪构造-古地理格局为有限洋 盆-岛弧带-造山带(山弧盆体系),在哈萨克斯坦板



红石山蛇绿混杂岩带二维剖面结构图(基于 AMT 测深剖面解译)

Fig. 3 The deep tectonic lithofacies pattern of the Hongshishan ophiolitic melange (based on AMT detected profile)

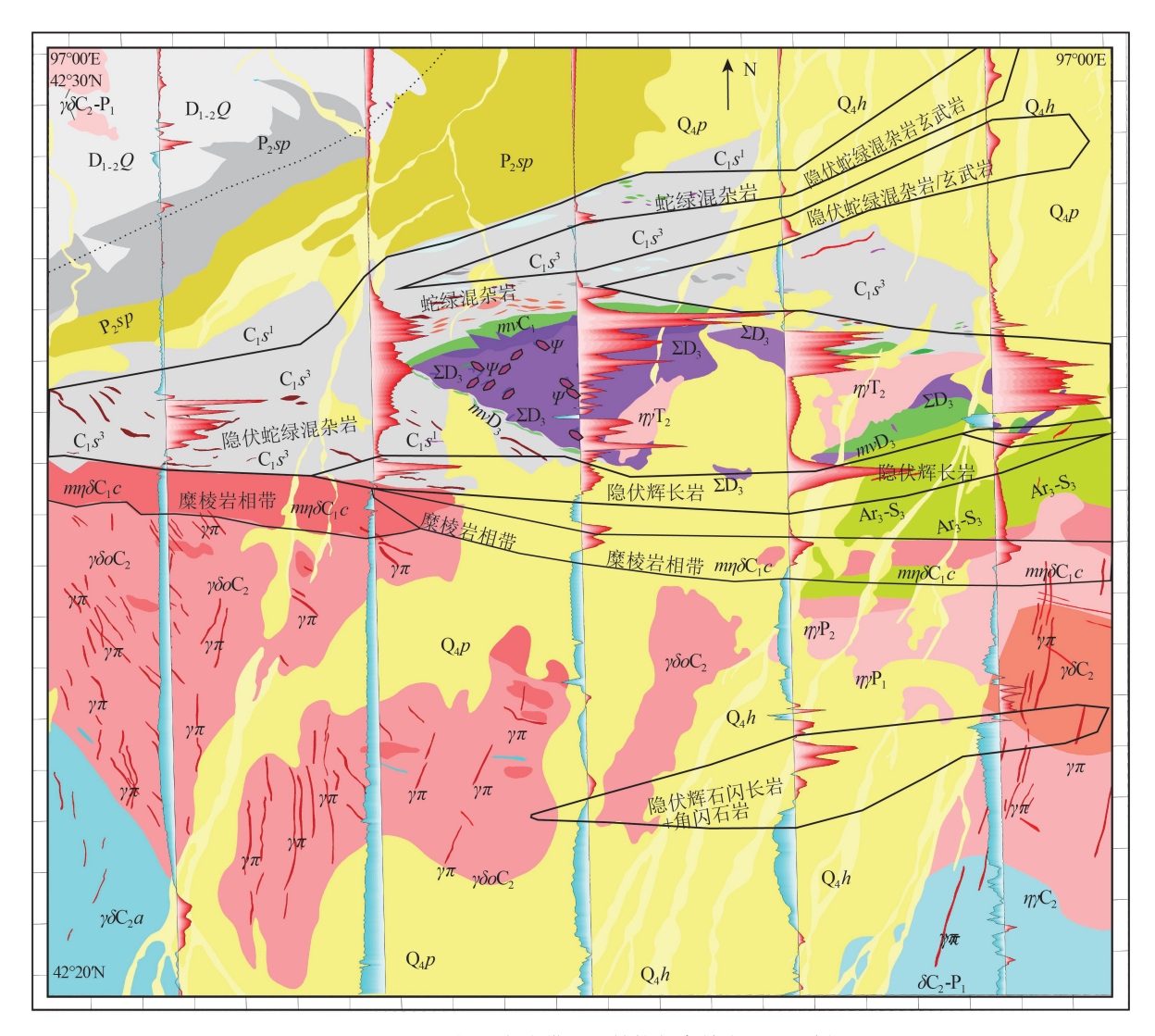


图 4 红石山蛇绿混杂岩带平面结构与高精度磁法平剖面

Fig. 4 Plane pattern of tectonic lithofacies of the Hongshishan ophiolitic melange

 $Q_4\hbar$ 一冲积砂砾层; Q_4p 一戈壁洪积一冲积砂砾石层; P_2sp 一双堡塘组; C_1s^3 一扫子山组第三岩性段; C_1s^1 —扫子山组第一岩性段; Ar_3 $-S_3$ 一前 泥盆纪小红山构造岩片; $\eta\gamma T_2$ 一中三叠世黑云母二长花岗岩; $\eta\gamma P_1$ 一早二叠世二长花岗岩; $\eta\gamma P_2$ 一中二叠世二长花岗岩; δC_2 $-P_1$ 一晚石炭世花岗闪长岩; $\gamma\delta o C_2$ 一晚石炭世花岗闪长岩; $\gamma\delta o C_2$ 一晚石炭世花岗闪长岩; $\eta\gamma C_2$ 一晚石炭世花岗岩; $m\eta\delta C_1$ 。一细粒黑云母二长花岗岩/糜棱岩相; $m\nu C_1$ 一早石炭世红石山北侧辉长岩; $m\nu D_3$ 一红石山南侧晚泥盆世辉长岩/糜棱岩相; Σ D_3 一红石山晚泥盆世辉石橄榄岩一橄榄岩; Ψ 一辉石岩一橄榄二辉岩; $\gamma\pi$ 一花岗斑岩脉

块南缘南向俯冲碰撞,在敦煌地块北缘增生楔构造背景下形成弧后扩张洋盆,具有 SSZ 型蛇绿岩套特征。

(3)深部几何学特征与三维结构探测。经大地音频电磁测深(AMT),结合地面高精度磁力测量、区域航磁异常等综合研究和构造岩相学解译。①从图 3 和图 4 看,蛇绿混杂岩带总体为无根状的大型透镜体,浅部石炭系被卷入构造-蛇绿混杂岩带

中,深部卷入地层可能为泥盆系,呈现2处向上凸起的低阻体。逆冲推覆断层总体倾向北,运动学指向为自北向南,与地面探槽揭露和控制的韧性剪切带和逆冲断层倾向一致。但地表探槽控制的逆冲断层倾角为60°~80°,从AMT解译推测断层倾角变缓,为35°~45°。这种逆冲断层产状变缓可解释为几何学特征为铲形逆冲断层。在红石山蛇绿混杂岩带南侧高阻体西部和中部为石炭纪和三叠纪花

662

图 4 显示有正负相伴的磁异常。①北侧正负相 伴近东西向航磁异常为变基性-超基性岩体所形 成,揭示了深部蛇绿混杂岩带信息,变基性-超基性 岩体向西侧伏于深部。②中部正负相伴航磁异常, 具有中磁性-低密度体特征,经构造岩相学研究,认 为与海底原生磁铁矿蛇纹石蚀变带有密切关系,揭 示该磁性体在深部具有较大规模,经探槽揭露也证 实高磁化率的相体与海底原生磁铁矿蛇纹石蚀变 岩(原生蛇纹石岩相+原生磁铁矿蛇纹石岩相)密切 相关,并与大规模蛇纹石岩和磁铁矿化关系密切, 具有寻找含铂族磁铁矿型矿床的潜力。③南部正 负相伴航磁异常带,推测与深部海底原生磁铁矿蛇 纹石蚀变岩有关,它们也是寻找含 Au-Ir PGE 磁铁 矿型矿床对象,值得进行战略性矿产评价和深部找 矿预测。

3.4 红石山蛇绿混杂岩带垂向单元恢复

考虑到蛇绿岩套的构造变形变位和变质作用 (构造型相),进行岩块单元和基质单元解析研究, 以蛇绿岩套垂向序列五单元对比,对红石山蛇绿岩 套的垂向岩相学序列恢复如下。

(1)变质超镁铁-镁铁杂岩单元为红石山变超 基性岩主体(蛇绿岩套底部第一单元),岩石组合为 纯橄榄岩-斜辉橄榄岩-二辉橄榄岩、含蛇纹石片岩

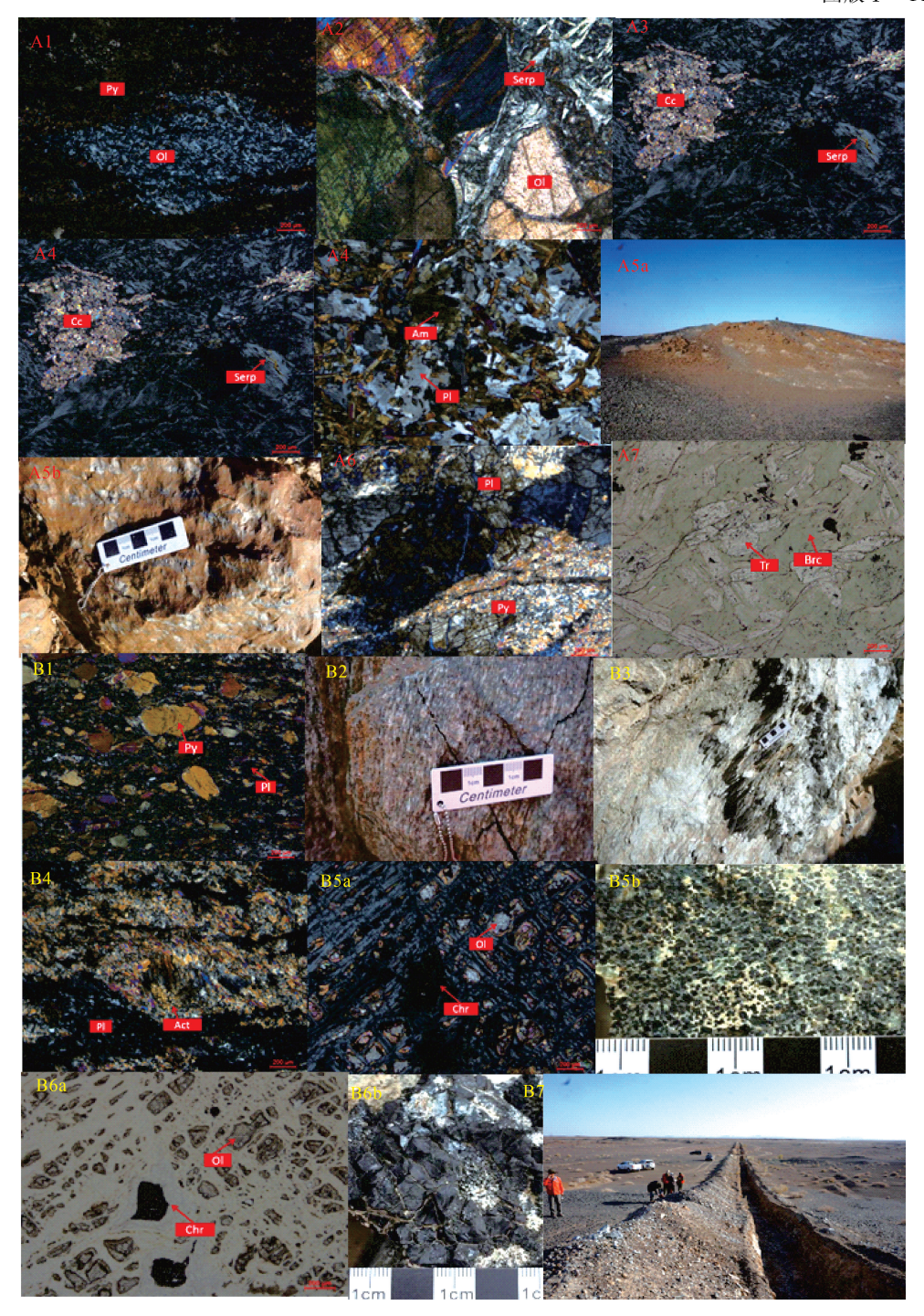
和蛇纹石化相基质单元。浅黄绿色纯橄岩分布于 构造岩块北缘,含铬铁矿、尖晶石、磁铁矿、钙钛矿 等标志矿物,形成了豆荚状铬铁矿石和铬铁矿化 体。采用2条探槽圈定和揭露控制了糜棱岩化辉长 岩、辉长岩质糜棱岩、二辉岩、斜辉橄榄岩、纯橄岩 等岩相单元界线和分布范围。辉橄岩和斜辉橄榄 岩具变余残留结构、假斑晶状结构和网格状结构, 由假斑晶透闪石化辉石、绢石化辉石等组成。眼球 状橄榄石残晶被纤蛇纹石和胶蛇纹石完全交代,以 网格状次生胶蛇纹石为特征。辉石和斜长石发育 旋转碎斑等典型的糜棱岩相-糜棱岩化相标志,为 基质单元与岩块单元的分界线标志(图版 I)。

蚀变辉橄岩(糜棱岩化相辉橄岩,岩块单元, DT0101,图版 I-A1)组成矿物为橄榄石(56%)和 辉石(42%),少量不透明矿物(2%)。橄榄石整体 为长粒状、透镜状、眼球状蛇纹石组成的集合体,粒 径小,为0.6~2.1 mm。辉石深色层和蛇纹石浅色层 经历蚀变作用后再经历韧性变形作用,部分为眼球 状和透镜状集合体特征,整体为定向条带状构造, 属糜棱岩化相。归入变超镁铁-镁铁杂岩岩块单 元,发育糜棱岩化相指示了临近基质单元。

黄绿色蛇纹石化辉橄岩(岩块单元,PM19-18b2 等,图版 I-A2)组成矿物为橄榄石(69%)、辉石 (12%)和蛇纹石(18%),少量不透明矿物(1%)。 裂纹状橄榄石呈半自形柱状、粒状和交代残余状。 普通辉石呈半自形柱状,常见交代残余状,粒径 0.6~3.5 mm。蛇纹石呈叶片状和纤维状,集合体呈 束状、放射状、细脉和网脉状。考虑到橄榄石和辉 石多发生次生蛇纹石化,多数保留原柱状和粒状形 态,原岩恢复为辉橄岩(蛇纹石化相)。蛇纹石化辉 橄岩(变质超镁铁-镁铁杂岩单元)为岩块单元与基 质单元分界线。

浅灰绿色蛇纹石化橄榄岩(基质单元,PM19-18-b1 等,图版 I -A3)组成矿物为蛇纹石(92%), 少量橄榄石(2%)、碳酸盐矿物(2%)、绿帘石(1%) 和不透明矿物(3%)。蛇纹石呈纤维状集合体,粒 径 0.02~0.2 mm,平行或近于平行消光,部分位置放 射状呈扇形或十字形消光。橄榄石多蚀变为蛇纹 石并伴有磁铁矿析出,为海底原生蛇纹石相。碳酸 盐矿物呈粒状(0.01~0.06 mm)。绿帘石呈粒状与 碳酸盐矿物共生,粒径 0.01~0.2 mm,高突起,二级 干涉色鲜艳且分布不均匀。含橄榄石蛇纹石岩的原

图版 I Plate I



A1~B7.红石山蛇绿岩套有关单元的构造岩相学特征。A1.蚀变辉橄岩(辉橄岩,DT0101,5×(+)),橄榄石鱼尾化,糜棱岩化相;A2.蛇纹石化辉橄岩(辉橄岩,PM19~18~b2)5×(+),蛇纹石化相;A3.含橄榄石蛇纹石岩(PM19~18~b1)5×(+);A4.灰褐色细粒石英角闪辉长岩(TC1~1~14~b1,5×(+));A5a.堆晶辉长岩组成的残余山丘景观;A5b.辉长岩岩块,堆晶辉长岩中辉石堆晶(灰色)和斜长石(棕色);A6.灰绿色蚀变辉长岩(TC2~13~b1,5×(+));A7.灰绿色透闪水镁石岩5×(~);B1.糜棱岩化相辉长岩(BD3~7,5×(+));B2.辉长岩质糜棱岩;B3~透闪石阳起石千糜岩(片岩);B4.浅灰绿色中粒蚀变辉长岩(PM16~5~B1,5×(+));B5.褐色蛇纹石化纯橄榄岩(含铬铁矿纯橄岩,TC1~1~13~b15×(+),稠密浸染状铬铁矿矿石;B6.褐色蛇纹石化纯橄榄岩((TC1~1~13~b1,5×(~)))块状铬铁矿矿石。Py—辉石;Ol—橄榄石;Am—角闪石;Pl—斜长石;Serp—蛇纹石;Cc—碳酸盐矿物;Brc—水镁石;Tr—透闪石;Act—辉石蚀变为阳起石(旋转碎斑);Chr—铬铁矿

岩恢复为纯橄岩,变质超镁铁-镁铁杂岩单元中蛇 纹石岩相为原生大规模羟基水化蚀变相,归入基质 单元。

664

(2)超镁铁-镁铁质堆晶岩(辉长岩质堆晶岩) 及斜长石浅色岩单元(蛇绿岩套底部第二单元)。 辉长岩质堆晶岩呈透镜状、条带状、孤岛状和岩浆 析离体状分布。岩石组合有堆晶辉橄岩、堆晶辉石 岩、堆晶辉长岩和斜长岩(浅色岩)。恢复从底到顶 的堆晶相序结构为含铬尖晶石堆晶辉橄岩→堆晶 辉石岩→堆晶辉长岩→斜长岩,向上榄橄石和辉石 含量减少,浅色斜长石含量增多,在上部堆晶辉长 岩和堆晶斜长岩岩浆析离体共存或堆晶辉长岩→ 斜长岩条带呈韵律状交替产出。在底部发育豆荚 状铬铁矿化体。

辉长岩(岩块单元, TC1-1-14-b1, 图版 I-A4)组成矿物为角闪石(45%)、斜长石(43%)和石 英(12%),金属矿物微量。斜长石呈半自形板状和 宽板状,粒径 0.2~0.8 mm,聚片双晶由中长石及更 长石组成。黄绿色-绿色角闪石呈半自形粒状 (0.02~0.8 mm),边缘见绿泥石化。他形石英呈粒 状(0.02~0.4 mm)。半自形斜长石由中长石及更长 石组成。半自形柱状角闪石的绿泥石化较强。原 岩恢复为辉长岩(岩块单元),经历了角闪石相流体 交代作用。堆晶辉长岩具有显著辉长岩和斜长岩 的岩浆析离体,可见岩浆熔离分异结构和透镜体 (图版 I-A5),在地表呈残余山丘景观。

灰绿色蚀变辉长岩(岩块单元,TC2-13-b1,图 版 I-A6)组成矿物为单斜辉石(53%)和斜长石 (47%),不透明矿物微量。单斜辉石残留半自形-他形柱状,粒径 0.3~1.5 mm,以透闪石化和阳起石 化为主,无色透闪石略带浅绿色调,呈针柱状、纤维 状,闪石式解理发育;辉石由交代蚀变矿物集合体 替代,具假象结构。斜长石呈半自形柱状,粒径 0.15~2.2 mm,交代蚀变较强,基本上由钠长石、黝 帘石等集合体替代,具斜长石外形。辉长岩经历了 较强的破碎和交代蚀变,为同构造期透闪石-阳起 石相的流体交代作用形成。辉长岩岩块单元分布 在红石山蛇绿混杂岩带两侧,均经历了同构造期角 闪石相→透闪石-阳起石相流体作用,推测为地壳 深部同构造期的流体交代作用形成。

灰绿色透闪水镁石岩(基质单元,水镁石岩相, BD3-10,图版 I-A7)组成矿物为水镁石(67%)和

透闪石(33%)。水镁石呈无色和浅绿色,弱多色 性,粒径 0.02~0.4 mm,可能含少量绿泥石呈片状和 扭折状。无色片状透闪石具有浅绿色调,粒径 0.2~ 1.2 mm。斜方辉石或橄榄石蚀变为水镁石,片状水 镁石集合体呈放射状和束状;透闪石残留原细粒结构 特征,原岩恢复为二辉岩(透辉橄榄岩)。透闪石-水 镁石岩相为强烈羟基水化蚀变相,因水镁石(67%)含 量高,对这种特种耐火材料矿产需进一步评价。

(3)糜棱岩化变辉长岩单元(糜棱岩化相,蛇绿 岩套底部第二单元辉长岩质杂岩)。糜棱岩化相辉 长岩分布在北缘,以脆韧性剪切带与扫子山组为接 触界线,二者之间发育构造片岩相,以强烈构造片 理化带分割单元,经探槽揭露圈定了覆盖层之下的 地质体界线。糜棱岩化辉长岩(流体交代的糜棱岩 化相,岩块单元,PM16-5-B1,图版 I-B1)矿物组 成为辉石(50%)和斜长石(40%),少量石英(5%) 和热液脉体(5%)。阳起石呈鳞片状集合体,原为 辉石,部分核部残留半自形柱状、2组近正交解理特 征,几乎全部由阳起石替代。斜长石发生了强烈的 钠黝帘石化,内生成细小的板条状钠长石,粒径 0.2~2.5 mm, 几乎全部由钠长石、绿帘石、黝帘石等 集合体替代,残留原形态特征。热液脉体内充填绿 泥石、绿帘石等矿物。浅黄绿色条带为阳起石集合 体形态,具有残留部分辉石特征;黑色条带为钠长 石和黝帘石的集合体,具有眼球状和条带状集合体 特征,可能为辉长岩经历较强的交代蚀变而成,原 岩恢复为辉长岩。在阳起石化蚀变之后,岩石经历 一定动力变质作用而成,出现递进变形且具条带状 和眼球状特征,部分斜长石变斑晶为糜棱岩化作 用,以构造岩相学复式命名法命名为糜棱岩化相辉 长岩;或以矿物含量法命名为钠长石阳起石岩。

辉长岩质糜棱岩(强流体交代糜棱岩相,PM16-6-B2.图版 I-B2、B3)的磁化率为 20×10⁻³~50× 10⁻³SI。变斑晶为斜长石(10%)和辉石(5%)。基 质为阳起石(27%)、钠长石(20%)、斜长石假象 (34%);含有脉体(2%)和不透明矿物(2%)。旋转 碎斑为原辉长岩残留,斜长石为眼球状,粒径 0.5~1 mm,发育聚片双晶且双晶纹较宽,为拉长石特征。 浅黄绿色辉石为眼球状,粒径 0.2~0.5 mm,发育辉 石式解理。基质中浅色条带为阳起石和钠长石,阳 起石为长柱状集合体,斜消光;钠长石为长粒状和 糖粒状,粒径0.02~0.12 mm,发育聚片双晶。暗色

条带为强烈钠黝帘石化。原岩恢复为辉长岩,阳起石-钠黝帘石化为动力变质作用形成;眼球状韧性变形的斜长石和辉石为糜棱岩化相标志。恢复深部流体交代作用-构造事件序列为同构造期钠长石阳起石相→韧性剪切变形糜棱岩相。辉长岩质糜棱岩(强流体交代糜棱岩相→钠长石-阳起石相,基质单元)为地壳深部流体交代廊道标志。

- (4)辉绿岩岩枝(脉)单元(蛇绿岩套第三单元 镁铁质席状岩墙杂岩)。辉绿岩岩枝侵入扫子山组 火山沉积岩系和糜棱岩化相辉长岩之间,呈绿泥透 闪阳起石片岩等形式的构造岩片产出。四顶黑山 基性一超基性杂岩和黑山梁南侧石炭纪—二叠纪辉 长岩类侵入岩等属同源后期异相产物。
- (5)海相基性喷出岩单元可与蛇绿岩套顶部第 四单元镁铁质火山杂岩对比。在红石山基性-超基 性岩两侧均分布有变基性火山岩(绿泥石片岩)和 深水相沉积,南缘白山组中绿泥片岩夹硅质岩,北 缘扫子山组由南到北依次为绿泥片岩、硅质岩、安 山岩及千枚状砂质板岩。尤其是在北侧糜棱岩化 相辉长岩以北,扫子山组绿泥石片岩和石英绢云母 片岩原岩恢复为深水相细碎屑岩系。褐色玄武岩 具有间粒间隐结构,脉状、块状构造。主要组成矿 物成分为斜长石(35%)和辉石(10%),隐晶质-玻 璃质(39%)和脉体(10%),少量绿泥石(2%)和不 透明矿物(4%)。其中,斜长石呈半自形板状和长 柱状,粒径 0.04~0.4 mm,发育聚片双晶,且双晶纹 较宽,为基性斜长石特征,边缘相对干净,核部钠黝 帘石化较强,整体杂乱排列构成三角空隙。辉石呈 他形粒状,粒径 0.02~0.2 mm,分布于斜长石间隙 内。绿泥石呈片状、鳞片状,粒径 0.04~0.3 mm,异 常靛蓝干涉色。不透明矿物呈粒状,粒径 0.01~ 0.05 mm。脉体内充填隐晶质硅质和碳酸盐矿物, 带状近平行排列,推测原为不规则气孔,后被硅质 和碳酸盐矿物充填为杏仁体。岩石整体结构表现 为基性斜长石杂乱排列,内充填隐晶质-玻璃质,细 粒辉石、铁质不透明矿物、片状绿泥石,构成间片-间粒-间隐结构,整体为块状构造。该褐色玄武岩 归入岩块单元。

黄绿色糜棱岩化玄武岩(海相基性喷出岩单元玄武岩,基质单元,糜棱岩化相,BD5-3)组成矿物为斜长石(75%)、辉石(20%)、绿泥石(3%)和不透明矿物(2%)。斜长石呈粒状和板粒状(0.02~4

- mm),表面因钠黝帘石化等蚀变较强而混浊,以拉 长石为主。短柱状和柱粒状辉石具有2组近直交解 理。浅绿色鳞片状绿泥石(0.02~0.1 mm)部分可见 交代辉石。因为糜棱岩化相变为基质单元,恢复为 海相基性喷出岩单元玄武岩。
- (6)蛇绿岩套中的其他标志。① 在蛇绿岩套中地幔岩浆可演化形成基性岩、中性岩、酸性岩等系列,它们以海相火山岩和侵入岩形式存在,也是重要的辅助标志,在 460 金矿区发育黑云母斜长花岗岩、埃达克岩质石英闪长岩和花岗闪长岩。② 在构造-蛇绿混杂岩带中,具有蛇绿岩→构造混杂岩→高压变质岩分带结构,糜棱岩化相辉长岩(νmC₁)和小红山岩组为角闪岩相的构造岩块。③ 蛇绿岩套底部为形成铬铁矿的有利岩相带,铬铁矿岩较发育是寻找大型铬铁矿床的标志,也是判断 SSZ 型蛇绿岩套的辅助标志。

含铬铁矿纯橄榄岩(TC1-1-13-b1,图版 I-B5、B6)的磁化率为 42×10⁻³ ~107×10⁻³ SI,最高达 135×10⁻³ SI。组成矿物为蛇纹石(82%)、橄榄石(14%),少量铬铁矿(4%)。淡黄绿色蛇纹石呈叶片状、纤维状和胶状,集合体呈束状、放射状、细脉和网脉状;粒径 0.01~0.4 mm。橄榄石呈半自形柱状、粒状、交代残余状,裂纹发育,粒径 0.2~8 mm,次生蛇纹石化分布在网格中,橄榄石残余分布在网眼中。粒状铬铁矿的粒径大小为 0.2~1.2 mm,全消光。含铬铁矿橄榄蛇纹石岩中发育残余半自形柱状橄榄石和交代残余结构,次生蛇纹石化(相)整体呈网脉状,原岩恢复为含铬铁矿纯橄岩,为蛇绿岩套的辅助识别标志,归入基质单元。

- 4 南带构造带:白山-狼娃山晚古生代岛弧带与演化
- 4.1 泥盆纪构造-古地理单元恢复与白山-跃进山 泥盆纪深成岩浆弧
- (1)白山-狼娃山南部构造带发育泥盆纪和石炭纪深成岩浆弧带,发育在加里东期侵入岩、元古宙下基底构造层等组成的岛弧型地壳上。岩石组合为辉长岩-闪长岩-花岗闪长岩-二长花岗岩,分布于白山东、七口井、红柳沟、公婆泉铁矿西和小红山南,平面上呈不规则团块状、条带状和透镜状。①在红石山南新确定了晚石炭世—早二叠世深成岩浆弧,形成年龄为309.9±1.1~283.4±1.4 Ma(未

刊数据),指示红石山有限洋盆在晚古生代具有向 南俯冲消减的构造极性。② 内蒙古北山地区三个 井辉长岩(404.9±1.6 Ma)[47] 为红石山-百合山-蓬 勃山有限洋盆向南俯冲形成的早期泥盆纪深成岩 浆弧。③ 芨芨台子蛇绿岩套中辉长岩形成年龄为 314.9±5.0~329.0±5.1 Ma,年龄加权平均值为 321.2± 5.7 Ma^[48];小黄山蛇绿岩套中辉长岩和玄武岩形成 年龄分别为 350.2±8.8 Ma 和 336.4±4.1 Ma^[49]。岌 岌台子-小黄山晚古生代有限洋盆可能向南俯冲, 形成马鬃山石英闪长岩(363.7±3.7 Ma)和花岗闪长 岩(365.6±6.6 Ma)[50] 深成岩浆弧、马庄山晚石炭世 石英斑岩等构造-热事件。

666

(2)石英斑岩侵位事件是地壳垂向增生的重要 标志,为地壳重熔形成过铝质的高钾钙碱性系列岩 浆。①在白山堂铜矿区(图1),晚泥盆世流纹质次 火山侵入体由流纹斑岩、英安斑岩、角砾熔岩、凝灰 熔岩、石英粗面岩组成。流纹斑岩呈岩株和岩墙产 出,东部及北部被侏罗系火山沉积岩掩盖,西部与 铅炉子沟群呈侵入接触。流纹斑岩具有钙碱性、过 铝质(A/CNK 值为 1.12~1.65)、高硅(70%~ 74%)、高钾(4.34%~8.75%)和低钙(0.13%~ 1.16%)特征,负 Eu 异常明显,大离子亲石元素富 集, Nb、Ta、Sr、P、Ti 亏损, 岩浆起源于古老地壳物 质部分熔融:非常低 Sr 和高 Yb 特征表明,岩体形 成时压力较低,全岩锆石饱和温度约为 750℃;形 成年龄为 374.9±2.3 Ma^[51]。马庄山和白山堂陆缘 成熟岛弧作用,指示北山中部具有显著地壳垂向 增生和造山作用。②墩墩山地区流纹斑岩(369.9± 1.5 Ma) [52] 、安山岩(367.4±9.3 Ma) [53] 等,属北山南 带干泉-墩墩山-碱泉子同造山期火山-磨拉石相 区[26],在碱泉子志留系之上,下泥盆统底部砂砾岩 夹猪肝色页岩、玄武岩、安山岩和砂砾岩互层,在上 部粉砂岩中含化石灰岩透镜体,揭示沉积水体逐渐 增深。含化石层之上砂砾岩中夹有巨大滑塌灰岩 岩块,上覆巨砾岩层,砾石为石英岩、火山岩、灰岩 和混合岩,灰岩砾石中含有志留纪化石。巨砾岩与 下伏层呈平行不整合关系。这种垂向构造岩相学 相序结构为同造山期快速多次抬升形成的垂向相 序结构。北山南带同造山期泥盆纪磨拉石相广泛 出露在墩墩山、花牛山、柳园、辉铜山、磨盘山等 地[26]。③上泥盆统墩墩山群为紫红色基性、中性、 酸性火山岩夹碎屑岩地层,分布有裸子植物化石碎

片,指示了陆相火山喷发作用。中泥盆统与上泥盆 统之间为不整合接触,上泥盆统分布面积增加。中 泥盆统三个井子群由凝灰质砾岩、砂砾岩、砾岩、砂 岩等组成,这种粗碎屑岩系与下古生界砂岩和加里 东期花岗岩呈区域性角度不整合接触,山麓洪积扇 相一辫状河流相的组合,揭示发育中泥盆世山间断 陷洼地。

(3)在敦煌加里东期造山带东北部长山子构造 混杂带中,长山子变形变质岩系在晚志留世末--早 泥盆世初变质事件(419~417 Ma)中,具有西阿尔 卑斯型变质作用 p-T 轨迹,高压基性麻粒岩岩块为 790~874℃、12.9~1.37 GPa, 石榴斜长角闪片麻岩 岩块为 681~684℃、0.89~0.97 GPa, 泥质麻粒岩基 质为860~879℃、0.90~1.14 GPa^[19],揭示在构造折 返过程中形成构造-变质混杂岩。根据敦煌地区早 泥盆世构造折返隆升事件、马庄山和白山堂一带过 铝质的高钾钙碱性系列岩浆侵位事件,结合甘肃东 南部西秦岭上泥盆统发育向上变粗变浅沉积层序 和磨拉石相,推测它们为古祁连山泥盆纪造山带东 南侧同造山期粗碎屑岩系。这种粗碎屑岩系构造 岩相学特征表明,敦煌-古祁连山造山带泥盆纪初 就形成了山弧盆耦合转换格局,在泥盆纪曾经历3 期显著的抬升-剥蚀-沉积事件。

4.2 石炭纪白山-狼娃山岛弧带

(1)白山组(C₁bs)厚约 4126.2 m,分 3 个岩性 段,揭示了白山-狼娃山陆缘火山弧在石炭纪的发 育过程。①下段厚 1845.8 m,岩石组合为灰黑色、 紫灰色、暗红色安山质火山角砾熔岩、英安质火山 角砾岩、英安质晶屑玻屑熔结角砾岩、英安质含火 山角砾凝灰角砾岩等。下段主要为中性-酸性火山 碎屑岩段,以火山爆发相为主,属陆缘火山岛弧发 展初期的产物。②中段厚 1698.4 m,岩石组合为灰 褐色和浅灰绿色安山岩、流纹岩、英安岩、英安质凝 灰熔岩、安山质凝灰熔岩、灰白色-深灰色细晶、微 晶灰岩及泥质粉砂岩、粉砂岩、细砾岩。中段以厚 层中性和酸性火山熔岩为主,夹薄层火山碎屑岩和 灰岩,局部夹薄层碎屑岩,灰岩中产丰富的珊瑚和 少量腕足化石,指示了浅海沉积环境和浅海相岛弧 带,以火山溢流相为主,伴有火山爆发相、火山沉积 岩相和同期异相的含生物碎屑灰岩,弧内伸展作用 增强,属陆缘火山岛弧发育期。③上段厚 582 m,岩 石组合为变凝灰岩、含粉砂泥硅质板岩、灰黑色硅 质板岩、凝灰质板岩、绢云千枚岩、绢云绿泥千枚岩等。深水相细碎屑岩和硅质岩指示了陆缘沉积盆地水体增深过程,火山喷发减弱,沉积作用显著增强,属红石山有限洋盆南缘部分。浅变质岩段为陆缘弧盆被卷入红石山蛇绿混杂岩的中带和外缘带。④白山-狼娃山-黑鹰山石炭纪岛弧带中,黑鹰山金铁磷-钇矿床(图1)为火山喷溢沉积成因,致密块状铁矿体呈似层状、囊状和透镜状产于白山组火山-沉积岩层中,白山组中黑鹰山富铁-磷钇矿床成矿年龄为322.0±4.3 Ma^[55],说明白山组时代不早于早石炭世晚期谢尔普霍夫阶。

- (2)白山-狼娃山晚古生代陆缘岛弧带位于红石山蛇绿混杂岩带南侧,南北宽逾 40 km,东西长逾 300 km,向西延入新疆东天山,与康古尔塔格断裂南缘的雅满苏石炭纪弧相接,向东延入内蒙古,以蓬勃山石炭纪岛弧带相连接。明水西新井埃达克岩质早石炭世晚期—中石炭世早期石英闪长岩出露于肃北县马鬃山镇西明水地区,构造上位于塔里木板块北缘,分布于哈萨克斯坦板块华力西缝合带南侧白山岩浆弧带上。
- (3)在白山-狼娃山晚古生代岛弧带内,晚古生 代钙碱性火山岩+中酸性侵入岩广泛分布。①下石 炭统白山组中酸性火山岩类的岩石组合为安山岩、 英安岩和流纹岩,与弧内沉积岩和弧内生物碎屑灰 岩等呈同期异相结构,为陆缘岛弧钙碱性火山-沉 积岩系。②中酸性岩多呈较大的岩基出露,如明水 岩基、狼娃山岩基和大石山岩基,成因类型多为 S 型、I型和A型花岗岩,是复杂的岛弧碰撞造山带组 成部分。③在晚古生代岛弧演化上,明水西新井埃 达克质石英闪长岩分布于白山-狼娃山-黑鹰山晚 古生代岛弧带明水岩基南侧。石英闪长岩呈形态 各异的残留体团块状分布,在新井较大岩株面积达 500 km²,侵入于白山组和前长城纪敦煌岩群中,被 明水岩基主体侵入的淡色二长花岗岩侵入蚕食,呈 捕虏体形式产出。岩石组合为中细粒闪长岩-似斑 状中细粒石英闪长岩-中细粒石英闪长岩,分布较 广的中细粒石英闪长岩中含辉长质包体和角闪质 包体,脉岩主要为片理化闪长玢岩脉、斜长花岗斑 岩脉、闪长岩脉、花岗伟晶岩脉、石英闪长斑岩脉 等。齐瑞荣等[55]认为,早石炭世晚期—中石炭世早 期(314±14 Ma) 明水西新井埃达克质石英闪长岩为 洋壳板片俯冲熔融形成的产物,指示白山-狼娃山-

黑鹰山晚古生代岛弧带在早石炭世晚期—中石炭世早期为地壳侧向增生和垂向增生机制并存,对于金多金属成矿有利。

- (4)马庄山浅成低温热液型金银矿床赋存在 下石炭统白山组中。白山组下段为砂岩、板岩、安 山岩、玄武岩夹凝灰岩、火山角砾岩、灰岩和大理 岩;中段为安山岩、英安质角砾岩、凝灰岩、流纹岩 及板岩:上段为生物灰岩、安山岩和英安质火山碎 屑岩,揭示马庄山地区更接近古陆缘,早石炭世白 山期末仍为浅海环境;且早石炭世白山期末仍有 火山溢流相和火山爆发相,晚石炭世石英斑岩等 次火山岩侵入相和岩浆隐爆角砾岩相也继承了陆 缘火山岛弧带前期活动历史。晚石炭世石英斑岩 侵入于白山组内,形成顺层和切层岩浆隐爆角砾 岩筒,金银矿体赋存在岩浆隐爆角砾岩相中,指示 其与晚石炭世石英斑岩和岩浆隐爆角砾岩相系关 系密切。晚石炭世石英斑岩具有富碱、高钾(K,O+ Na,O 为 3.55% ~ 9.67%, K,O/Na,O 值为 2.57~ 66.5)、过铝质(Al₂O₃为10.37%~14.28%)特征,为 下地壳物质的部分熔融形成石英斑岩的初始岩浆, 侵位至地壳浅部以次火山岩侵入岩体形式产出,形 成年龄为 315.4±0.6 Ma^[56],指示晚石炭世以下地壳 物质部分熔融的地壳垂向增生作用显著,以晚石炭 世早期巴什基尔阶石英斑岩和岩浆隐爆角砾岩为 代表。
- (5)白山组构造混杂岩片位于白山-狼娃山岛 弧带中,白山组中岩石劈理发育,发育同斜紧闭褶皱,糜棱岩带。早期 S₁透入性面理、S₂剪切面理、不对称掩卧-同斜-歪斜褶皱构造等构造样式,与糜棱岩带、韧性剪切带,剪切碎斑系和低绿片岩相相伴,以南向的逆冲剪切片理化带和逆冲推覆构造为主。晚期以走滑叠加褶皱变形为主,片理面不对称褶曲变形,叠加了北东向脆性断裂及褶皱,伴有不均一的低绿片岩相。
- 5 红石山晚古生代有限洋盆与岛弧造山带 构造演化

5.1 早古生代上基底构造层的构造型相与构造演化

早古生代海相火山岛弧在晚古生代经过构造 反转后,成为泥盆纪—石炭纪深成岩浆弧带。围绕 早古生代岛弧周缘形成了泥盆纪火山岛弧增生,但 演化为陆缘成熟岛弧带,对早古生代基底构造层构 造样式、构造组合和变形变质相进行构造岩相学筛 分如下。① 咸水湖组(O,x)火山岩类似于岛弧火 山岩[57],岩石组合指示海相水下岛弧地体特征,南 与二叠纪双堡塘组呈断层接触,北与公婆泉群呈断 层接触,因华力西期花岗岩侵入而反转演化为晚古 生代深成岩浆弧。咸水湖组为向斜构造南翼,该褶 皱南翼产状为60°~75°∠50°~65°,受断层破坏,局 部变缓为 15° ∠50°。北翼受华力西期岩浆侵入作 用破坏严重。该褶皱长大于 7000 m, 宽大于 2500 m。褶皱轴向为北西西向或近东西向。咸水湖组构 造型相为低绿片岩相+断裂+褶皱。② 从区域对比 看,在星星峡-明水-旱山古陆两侧分布志留系,南 侧红柳河-公婆泉-东七一山和北侧双沟山-黑鹰山 (本文研究区),晚志留世星星峡-明水-旱山古陆不 断隆起,经加里东期构造期后,逐渐成为敦煌造山 带北侧外缘带。③ 四顶黑山-双沟山志留纪中酸性 火山岩为海相火山岛弧岩[58],发育弥漫式剪切劈 理,韧性剪切带内发育糜棱岩化相。灰岩层中发育 S型雁列脉,变火山岩层石英脉呈紧闭同斜褶皱、石 香肠和钩状褶皱。构造型相为近东西向断裂+褶 皱+低绿片岩相。

668

5.2 下-中基底构造层的构造型相与构造演化

(1)在小红山岩组((Ar, -S,)D)构造混杂岩带 内,含有较多敦煌岩群((Ar₃-Pt)D)构造岩片信息, 甘肃省地质调查院在1:25万红宝石幅内获得小红 山黑云斜长片麻岩形成年龄为 2656±146 Ma^①。小 红山岩组内片麻岩套岩石组合为黑云斜长片麻岩、 黑云更长片麻岩、二云斜长片麻岩及含石榴子石更 长片麻岩。发育透入性片麻理,近东西向叠加韧性 变形、流变褶皱、S-C 组构, σ 、 δ 旋斑等韧性变形型 相,指示了地壳深层次韧性剪切变形特征,以糜棱 岩相+角闪石相构造型相发育为标志,暗示存在中 压-高温变形变质相带。经历了绿片岩相退变作用 和碎裂岩化相变形,被脆韧性剪切带(基质单元)围 限和分割。

(2)本区东邻小红山北—大红山南地区,上志 留统小红山岩组(S₃x)由山西地质调查院于2017年 建立^②,岩石组合为灰色长英质片岩、二云石英片 岩、绢云石英片岩、石英岩、绢云千枚岩及少量磁铁 石英岩、斜长角闪片岩、绿帘角闪片岩。后期构造 强烈变形作用形成了石英糜棱岩、长英质糜棱岩、 长英质糜棱片岩、二云石英糜棱岩、含榴含磁铁二

云石英糜棱岩等。小红山组碎屑岩内碎屑锆石加 权平均年龄为 436.5±1.4 Ma,小红山岩组变基性火 山岩的年龄为 338~343 Ma 和 276~279 Ma(LA-ICP-MS 锆石 U-Pb 法)^②。红石山东南侧小红山 岩组(S₃x)糜棱岩相-糜棱岩化相与本区类似,但构 造岩片(片麻岩套)有差异。

(3)小红山岩组构造混杂岩带的构造变形-变 质期次暂时划分为6期构造变形变质事件。①加 里东期,经历了地壳中深层次韧性剪切变形,韧性 变形型相包括流变褶皱、无根褶皱、S-C 组构、σ和 δ 旋斑、透入性片麻理置换等,变形变质主期暂定为 加里东期。以高绿片岩相-角闪岩相为主。② 泥盆 纪深成岩浆弧与岛弧反转构造期。在东侧 1:5万 大红山幅内,发育泥盆纪花岗闪长岩类(γδD²)、英 云闪长岩类(yòoD²)和石英二长岩序列,与红石山 南侧片麻岩套有对应关系^{①②},多以糜棱岩形式存 在。灰色花岗岩形成年龄分别为 399±3 Ma 和 364.2±2.2 Ma(谐和线的下交点年龄, LA-ICP-MS 锆石 U-Pb 测年)^②。泥盆纪侵入岩为深成岩浆弧, 指示基底构造层被卷入晚古生代深成岩浆弧带中, 深成岩浆弧持续演化到石炭纪末期。泥盆纪侵入 岩经历了糜棱岩化相变形变质,岩石组合为花岗闪 长质初糜棱岩、长英质糜棱岩、糜棱岩化英云闪长 岩。③晚石炭世侵入岩序列中糜棱岩化石英闪长 岩(δ_0 C²,319.7±1.5 Ma)和糜棱岩化花岗闪长岩 (γδC²,315.6±1.6 Ma)²,糜棱岩化相和糜棱岩相间的空间异质性结构,也指示糜棱岩化相可能形成于 二叠纪,糜棱岩相形成更早,于二叠纪末—三叠纪 变形变质为千糜岩相。糜棱岩化相-千糜岩相为强 变形域的基质单元,与泥盆纪普遍发育糜棱岩相均 质化结构的岩块单元具有差异,推测为哈萨克斯坦 洋壳向南俯冲碰撞形成的敦煌地块北陆缘成熟岛 弧。晚泥盆世—早石炭世,有限洋盆扩张垂向热物 质驱动应力场耦合作用,形成敦煌地块北缘构造岩 相的空间分形结构。④ 在红石山蛇绿混杂岩带南 侧晚石炭世石英黑云角闪闪长岩(343.4±1.0Ma,本 文)、晚石炭世—早二叠世花岗闪长岩(309.9±1.1~ 283.4±1.4 Ma)等侵入岩体内,各类脉岩群发育,主 要有辉长岩、闪长岩、石英闪长玢岩、花岗闪长斑 岩、花岗斑岩、二长花岗岩等,具有北西西向、南北 向、北东向等系统性定向结构,暗示敦煌地块北缘 经历了大规模的岩浆底侵和地壳垂向增生作用,形

成地壳浅部脉岩群,从东侧大红山→本区红石山东南部→本区红石山西南部。这些地层和侵入岩中的系列脉岩群指示,敦煌地块北缘具有反时针旋转构造应力场,南部构造带与中部红石山构造一蛇绿混杂岩带和北部四顶黑山—雀儿山构造带,具有完全不同的三大类构造岩相学和构造动力学特征。⑤ 在本区红石山蛇绿混杂岩带内,叠加了中三叠世花岗岩侵入(237.8~240 Ma)^[46],在红石山构造一蛇绿混杂岩带形成了南向逆冲推覆构造和断层相关褶皱带,伴随 C 型糜棱岩化相—糜棱岩相。⑥ 燕山期—喜马拉雅期北东向陆内断陷盆地,斜向叠置在红石山近东西向构造一蛇绿混杂岩带上,中部被苦泉组和第四系覆盖。

5.3 红石山洋壳残片和有限洋盆的变形构造样式、 构造组合与构造演化

(1)洋壳残片相。晚泥盆世—早石炭世洋壳扩 张脊以红石山蛇绿混杂岩带为残存标志(图 6-A), 南侧晚泥盆世糜棱岩化辉长岩(mvD3,366.1±1.6 Ma) 和北侧辉长岩(mνC_{1k}, 346.6±2.8 Ma) [45], 估算 洋脊扩张期持续了约 19.5 Ma,以红石山蛇绿混杂 岩带南侧灰绿色细粒石英黑云角闪闪长岩(δC_{1b} , 343.4±1.0 Ma)和糜棱岩化黑云二长花岗岩 (mηδC_{1c}, 336.8±1.4 Ma, 图 2)为该事件结束的构造 岩相学标志,构造-岩浆-热事件持续时间约 29.3 Ma。前述本区蛇绿岩套从下到上的垂向单元序列 恢复为:①变质超镁铁杂岩(变质橄榄岩);②堆晶 超镁铁-镁铁岩:③均质辉长岩和少量的辉绿岩墙: ④早石炭世扫子山期深水相硅质岩和含炭硅质细 碎屑岩(有限洋盆相);⑤陆缘海相岛弧地体为南北 两侧早石炭世扫子山期和白山期浅海相火山岛弧 带:⑥小红山岩组等构造岩片为敦煌地块北缘前泥 盆纪基底构造层。从区域构造岩相学类型水平分 带性和综合对比看,红石山地区构造-古地理单元 具有山弧盆体系特点,为哈萨克斯坦板块南缘南向 俯冲碰撞,在敦煌地块北缘增生楔构造背景下,形 成弧后扩张环境中形成的晚泥盆世—早石炭世有 限洋盆,指示红石山构造-蛇绿混杂岩带为 SSZ 型 蛇绿岩套。⑦ 扫子山组构造型相为低绿片岩相+千 糜岩相+糜棱岩相,发育构造面理置换,形成绿泥石 千糜岩等,蛇纹石糜棱岩和透闪石蛇纹石糜棱岩 (基质单元),如在红石山北侧,扫子山组内蛇纹石 糜棱岩和蛇纹石千糜岩中, C型面理产状为 118° ∠54°,S 型面理产状为 169° ∠57°,韧性剪切带优势产状为 150° ∠73°。在石英闪长斑岩边部发育糜棱岩化相-糜棱岩相,扫子山组内千糜岩-糜棱岩化相-糜棱岩相为基质单元,这些动力变质作用和构造型相指示了它们被卷入构造-蛇绿混杂岩带,为有限洋盆内共生相关地质体单元(图 6-A),包含有晚泥盆世之前的洋底滑塌岩块相的信息。

(2)红石山地区石炭纪构造一古地理单元恢复为:①扫子山组内深水相细碎屑岩+硅质岩+赤铁碧玉岩为早石炭世有限洋盆相;②以460金矿床埃达克岩质石英闪长岩和花岗闪长岩,揭示了与洋壳俯冲消减有关的埃达克岩质富钠质的钙碱性系列深成岩浆弧相;③红石山蛇绿岩套为晚泥盆世—早石炭世扩张洋脊经构造变形变位后保留的洋壳残片相标志;④扫子山组和白山组为浅海相岛弧相+浅海盆地相,大致呈对称结构分布在红石山有限洋盆南北两侧。晚泥盆世—早石炭世洋脊扩张中心向南北两侧为洋壳残片相→石炭纪有限洋盆相+富钠质的钙碱性系列深成岩浆弧相→浅海岛弧相+浅海盆地相(图6-B)。

(3)经 AMT 和磁法综合探测(图 3、图 4),蛇绿 岩套为深部无根状,经历了强烈的构造变形变位作 用。蛇绿混杂岩带经历了4期变形变质演化阶段, 在大地构造相时间域垂向构造岩相学序列上,构造 岩相学演化史恢复为:①小红山岩组构造型相为糜 棱岩相-糜棱岩化相+高绿片岩相-角闪岩相,在退 变质过程中,叠加了碎裂岩化相+粘土化蚀变相。 它们为与蛇绿混杂岩带共生的先存前泥盆纪基底 构造层。②晚泥盆世—早石炭世形成伸展弧和洋 壳扩张脊,辉长岩形成年龄为366.1±1.6 Ma(mνD3, 本文),在糜棱岩化相变辉长岩和辉长岩质糜棱岩 相中,早期糜棱面理为角闪石和斜长石旋转碎斑和 面理置换(角闪石相),早期构造型相为糜棱岩相-糜棱岩化相+角闪岩相,以角闪石和斜长石旋转碎 斑和生长拉伸线理等空间均质性变形为特征。铬 铁矿发育旋转碎斑结构和鱼尾结构,显示在岩浆熔 离结晶分异后经历了韧性剪切变形,推测为准同期 末发生构造变形。在红石山东 10 km 小红山处,糜 棱岩化相辉长岩呈构造岩片,与近东西向辉绿岩脉 相伴。蛇绿岩套底部第二单元辉长岩质杂岩由糜 棱岩化相辉长岩和辉长岩质堆晶岩 2 个单元组成。 ②中期糜棱岩化相面理由阳起石-透闪石-钠长石

等矿物组成,进一步演化为阳起石透闪石片岩-钠 长透闪阳起石片岩等。在主变形带内发育无根流 变褶皱和鞘褶皱,拉伸线理发育,流变褶皱发育。 中期发育同构造期强烈流体交代作用,形成阳起石 -透闪石相流体交代作用。糜棱岩化辉长岩(流体 交代的糜棱岩化相,图 6-C)恢复地壳深部流体交 代作用-构造事件的序列为:同构造期角闪岩相→ 同构造期透闪石阳起石相→韧性剪切变形糜棱岩 化相。晚石炭世—早二叠世弧侵入岩+弧火山岩、 浅海火山岛弧带、石炭纪末期有限洋盆萎缩强烈, 从早二叠世构造-沉积-火山活动等综合构造岩相 学特征看(图 6-D),与哈萨克斯坦板块南缘持续向 南俯冲碰撞有密切关系。二叠纪大规模构造反转 期,也是山弧盆耦合转换与弧盆碰撞期,发育中— 晚二叠世同造山期磨拉石相上叠盆地、脆韧性剪切 带。二叠纪和印支期具有自北向南逆冲推覆构造 作用和压剪性走滑剪切带。早—中二叠世大面积 断隆造山和深成岩浆弧发育,同造山期局部狭长带 状的残余海盆内发育复理石相,向上演替为火山岩 相+火山磨拉石相,最终演化为陆内湖泊相。③晚 期(千糜岩相+构造片岩相)发生强烈的构造面理置 换,构造岩相分形作用强烈,形成构造岩相的空间 异质性结构,蛇纹石、绿泥石、绢云母、白云石等矿 物呈网络状沿裂隙和节理分布,为早期糜棱岩化相 辉长岩在构造抬升过程中形成,叠加了浅层次脆韧 性剪切变形的构造样式,绿片岩相变质以强烈构造 带水化蚀变为特征。受印支期黑云母二长花岗岩 侵入叠加改造和近南北向逆冲推覆构造改造较强 烈。④末期燕山期—喜马拉雅期陆内北东向和北 西向断陷盆地和陆相火山-岩浆侵入,形成羟基蚀 变相(粘土化蚀变相)+碎裂岩化相,伴随表生粘土 化蚀变相。

5.4 红石山有限洋壳演化和构造-岩浆-成矿事件序列

蛇绿岩套、区域构造演化与区域成矿学内在联 系密切[60-72],红石山地区晚泥盆世—早石炭世有限 洋盆和二叠纪岛弧型造山带对区域成矿规律具有 独特的控制作用,主要与区域构造-岩浆演化作用 密切相关,具有寻找铬铁矿矿床、含 Au-IrPGE 磁铁 矿型矿床、斑岩型-浅成低温热液矿床金铜钼矿床、 宝玉石矿床、特种耐火材料、环境修复矿产等潜力, 建议进行战略性矿产综合找矿评价和深部找矿 预测。

(1)红石山地区构造-蛇绿混杂岩套有利于形 成较大规模的铬铁矿床和含 Au-IrPGE 磁铁矿型矿 床。前人已经在红石山地区发现了小型铬铁矿矿 床.根据磁法异常预测含铬铁矿超基性岩具有向西 侧伏趋势;含铬尖晶石堆晶辉橄岩→堆晶辉石岩→ 堆晶辉长岩→斜长岩与含铬铁矿纯橄榄岩具有良 好的岩浆结晶分异作用,指示有利于大型规模铬铁 矿床形成。海底原生磁铁矿蛇纹石蚀变岩相发育, 这是寻找含 Au-IrPGE 磁铁矿型矿床的重要标志. 在磁铁矿-蛇纹石相蚀变带内具有寻找含 Au-IrPGE 磁铁矿型矿床的潜力。在表生过程中水镁石 和蛇纹石富集成矿,具有寻找特种耐火材料和环境 修复特种材料的条件,如蛇纹石料可用于高氟饮用 水的净化。

GEOLOGICAL BULLETIN OF CHINA

- (2)在红石山地区北侧,蛇纹石化相+透闪石化 相、透闪石化相、滑石化相十分发育,而且深源菱铁 矿-菱镁矿等组成的碳酸盐蚀变相发育,与金云母 化相共生,含有绿辉石和蓝闪石,暗示经历了较高 级别的构造变形,地表以蛇纹石片岩、透闪石蛇纹 石片岩等为主,羟基蚀变异常与蛇纹石质糜棱岩和 透闪石蛇纹石片岩密切相关,预测该区域具有寻找 高档玉石和宝石矿床的条件。
- (3) 石炭纪富钠质的钙碱性系列闪长岩-花岗 闪长岩单元,对于形成大型斑岩铜金矿床和浅成低 温热液型金矿床十分有利。如甘肃 460 金矿床储矿 相体为花岗闪长岩 $(\gamma \delta C_{1b})$ 和石英闪长岩 (δC_{1b}) , 早石炭世中期维宪阶深成岩浆弧和埃达克岩与俯 冲洋壳板片密切相关,对形成大型金铜钼矿床有 利,460 金矿区和外围发育面状 Au-Ag-Cu-Mo-Hg 综合异常, 具有寻找大型斑岩型金铜矿床的 潜力[61]③。
- (4)与岛弧造山带大致平行的脆韧性剪切带, 有利于形成造山型金矿床。460 金矿-红石山-甜水 井金矿为大型脆韧性剪切带,已经发现和圈定了一 批沿该脆韧性剪切带分布的化探异常、金矿床和金 矿点,属寻找造山型金矿床有利靶区。
- (5)在岛弧造山带大致平行的脆韧性剪切带和 构造-蛇绿杂岩带内,形成了中生代花岗岩叠加侵 位和岩浆热液成矿事件,发育岩浆热液型钨矿脉 带,深部具有寻找钨(铯铷)矿床潜力。

6 结 论

(1)将红石山和邻区构造层划分为前华里西

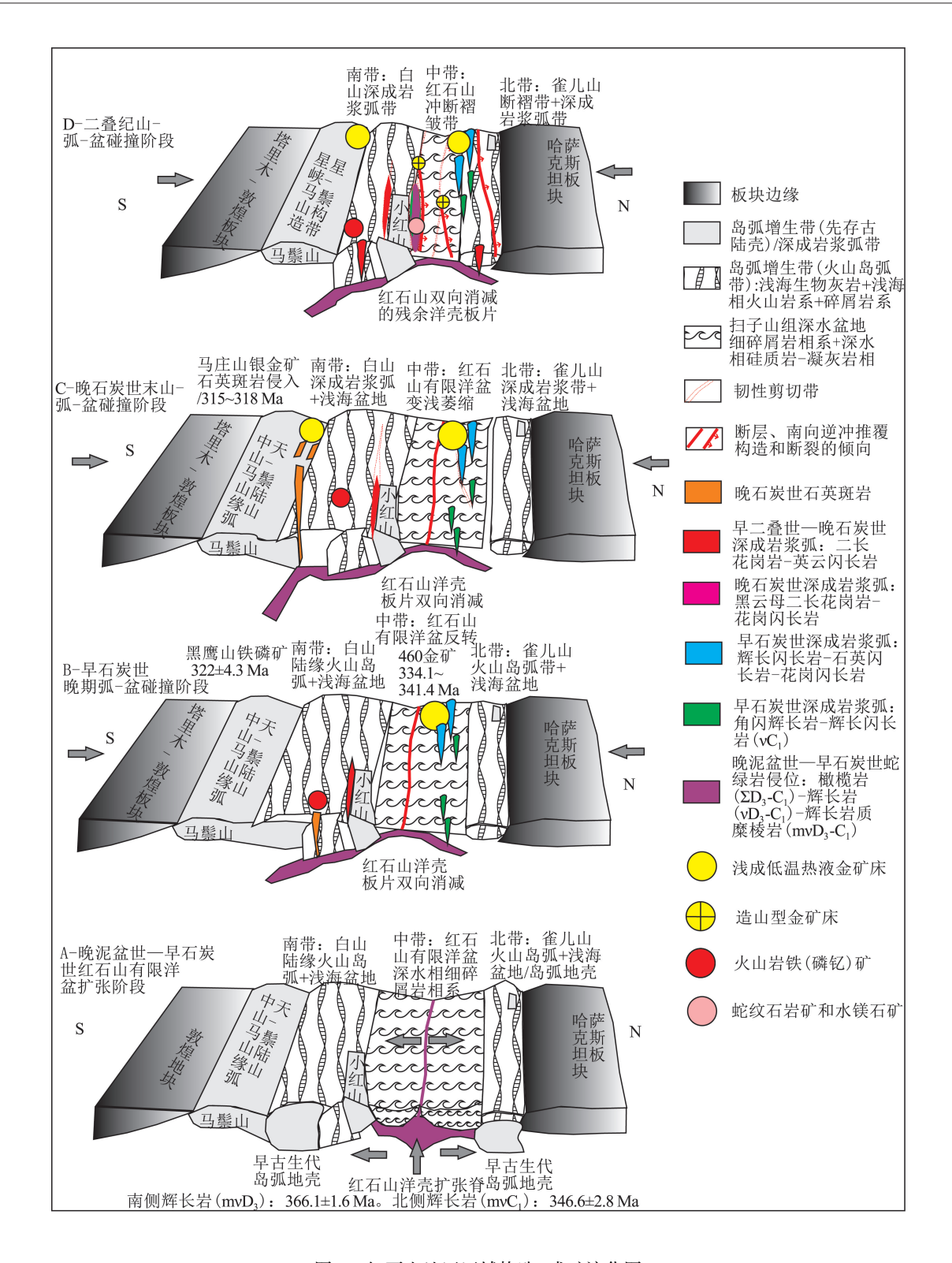


图 6 红石山地区区域构造-成矿演化图

Fig. 6 Evolution pattern of regional tectonics and mineralization in the Hongshishan area

期、华力西期、印支期、燕山期和喜马拉雅期 5 个主要构造层。前泥盆纪小红山岩组((Ar₃-S₃)D)构

造岩片为敦煌地块北缘基底构造层,经历了6期构造变形变质事件,红石山蛇绿混杂岩带经历了4期

变形变质演化。

672

- (2)结合区域构造岩相学对比,红石山和邻区 在石炭纪构造-古地理格局为有限洋盆-岛弧带-造 山带,为哈萨克斯坦板块南缘南向俯冲碰撞,在敦 煌地块北缘增生楔中形成 SSZ 型蛇绿岩套。红石 山地区划分为北部构造带四顶黑山一雀儿山晚古生 代火山岛弧相+深成岩浆弧相,中部构造带红石山 SSZ 型蛇绿混杂岩带恢复为晚泥盆世—石炭纪有限 洋盆相+洋壳残片相+深成岩浆弧,南部构造带为白 山-狼娃山晚古生代火山岛弧相+深成岩浆弧相,蛇 绿混杂岩带将两侧地质体卷入混杂岩带内。这种 复杂镶嵌结构的构造岩相体有利于形成大型-超大 型斑岩型金铜钼矿床、浅成低温热液金矿床和造山 型金矿床。
- (3)红石山蛇绿岩套从下到上垂向单元序列恢 复为晚泥盆世—早石炭世变质超镁铁杂岩→堆晶 超镁铁-镁铁岩→均质辉长岩和少量辉绿岩墙→早 石炭世扫子山期深水相硅质岩和含碳硅质细碎屑 岩(有限洋盆相)。南北两侧陆缘海相岛弧地体为 早石炭世浅海相火山岛弧带。蛇绿混杂岩带与周 缘地质体具有不同的构造岩相学边界,从北向南具 有明显的 4 个构造岩相学水平分带,中心部位为超 基性岩构造岩块单元,以糜棱岩相辉长岩和蛇纹石 片岩为包络面的构造岩片(基质单元),蛇绿混杂岩 带总体为无根状大型透镜体。

致谢:感谢审稿专家提出的修改意见,使本文 得到了完善和提升。

参考文献

- [1] 闫臻,王宗起,付长垒,等.混杂岩基本特征与专题地质填图[J].地 质通报,2018,34(2/3):168-191.
- [2] Raymond L A. Classification of mélanges [J]. Geological Society of America Special Paper, 1984, 198: 7-20.
- [3] Robertson A H F.Role of the tectonic facies concept in the orogenic analysis and its application to Tethys in the eastern Mediterranean region[J].Earth-Science Reviews, 1994, 37: 139-213.
- [4] 李继亮.全球大地构造相刍议[J].地质通报,2009,28: 1375-1381.
- [5]潘桂棠,肖庆辉,陆松年,等.大地构造相的定义、划分、特征及其鉴 别标志[J].地质通报,2008,27:1614-1637.
- [6] Festa A, Pini G A, Dilek Y, et al. Mélanges and mélange forming processes: a historical overview and new concepts [J]. International Geology Review, 2010, 52: 1040-1105.
- [7] Festa A, Dilek Y, Pini G A, et al. Mechanisms and processes of strata disruption and mixing in the development of mélanges and broken formations: redefining and classifying mélanges [J]. Tectonophysics, 2012,568/569:7-24.

- [8] Maruyama S. Pacific -type orogeny revised: Miyashiro -type orogeny proposed[J].Island Arc, 1997, 6: 91-120.
- [9] Cawood P A, Kröner A, Collins W J, et al. Earth accretionary orogens in space and time [J]. Geological Society of London Special Publication, 2009, 318: 1-36.
- [10] 中国地质调查局.中国地质调查局地质调查专报 G1: 青藏高原 区域地质调查野外工作手册[M].武汉: 中国地质大学出版社, 2001:1-282.
- [11] 李荣社, 计文化, 辜平阳, 等. 造山带(蛇绿) 构造混杂带填图方法[M]. 武汉: 中国地质大学出版社,2016: 1-128.
- [12] 王涛, 计文化, 胡建民, 等. 专题地质填图及有关问题讨论[]]. 地质 通报,2016,35(5):633-641.
- [13] 李荣西, 王涛, 刘海青. 地质流体与流体地质填图[J]. 地质通报, 2018,37(2/3):325-336.
- [14] 戢兴忠,陈懋弘,刘旭,等.构造-蚀变填图在贵州泥堡金矿床的初 步实践[J].地质通报,2018,37(2/3):254-261.
- [15] 方维萱, 杜玉龙, 李建旭, 著. 大比例尺构造岩相学填图技术与找 矿预测[M].北京: 地质出版社,2018: 1-381.
- [16] 方维萱, 王磊, 王寿成, 等. 塔西砂砾岩型铜铅锌矿床成矿规律与 找矿预测[M].北京: 科学出版社,2019: 1-424.
- [17] 方维萱.论热液角砾岩构造系统及研究内容、研究方法和岩相学 填图应用[J].大地构造与成矿学,2016,40(2):237-265.
- [18] 方维萱. 岩浆侵入构造系统 I: 构造岩相学填图技术研发与找矿 预测效果[J].大地构造与成矿学,2019,43(3):473-506.
- [19] 范文寿, 王浩, 张谦, 等. 敦煌造山带长山子地区变质演化及年代 学研究[]].岩石学报,2018,34(9):2773-2792.
- [20]甘肃省地质矿产局.甘肃省岩石地层[M].武汉:中国地质大学出 版社,1997:1-535.
- [21] 余吉远, 计波, 过磊, 等. 甘肃北山地区古硐井群地质特征与时代 厘定[]].地质通报,2018,37(4):704-715.
- [22] 王方成,魏志军,张国英,孙新春.甘肃北山北带红石山地区志留 纪地层新资料[]].地质通报,2004,23(11):1162-1163.
- [23] Rippington S J. The crustal evolution of Nemegt and Altan Uul, southern Mongolia[D]. Master's thesis, the University of Leicester, 2007: 1-195.
- [24] Wainwright A J. Volcanostratigraphic framework and magamtic evolution of the Oyu Tolgoi porphyry Cu - Au district, South Mongolia [D]. PhD thesis, the University of British Columbia, 2008: 1 - 223.
- [25] 田健,辛后田,滕学建,等.内蒙古北山造山带白云山地区上泥盆 统墩墩山组火山岩的厘定及其构造意义[J].岩石学报,2020,36
- [26] 左国朝,刘春燕,白万成,等.北山泥盆纪碰撞造山火山-磨拉石地 质构造及地球化学特征[J].甘肃地质学报,1995,4(1): 35-43.
- [27] 龚全胜,刘明强,梁明宏,等.北山造山带大地构造相及构造演化[J].西 北地质,2003,36(1):11-17.
- [28]何世平,周会武,姚文光,等.甘肃北山中泥盆统砾岩中放射虫的 发现及其地质意义[J].西北地质,2004,37(3):24-28.
- [29] 陈玉良, 康文彬, 梅华平, 等. 甘肃北山北部红石山地区泥盆系雀 儿山群火山岩地球化学特征及构造环境分析[]].西北地质, 2015, 48(4): 50-59.
- [30] 李生虎,李文铅,夏明,等.新疆东天山地区"大草滩运动"的建立 与其地质意义[J].西北地质,2002,35(3):48-52.
- [31] 卢进才, 牛亚卓, 魏仙样, 等. 北山红石山地区晚古生代火山岩 LA-ICP-MS 锆石 U-Pb 年龄及其构造意义[J].岩石学报,2013,

- 29(8): 2685-2694
- [32] 王静,王学武,邓明国,等.新疆四顶黑山花岗岩体锆石 LA-ICP-MS-U-Pb 年龄及地质意义[J]. 地质找矿论丛, 2018, 33(3): 365-373.
- [33] 黄增保,金霞,李葆华,等.甘肃红石山地区印支期花岗岩地球化学特征及成因讨论[]].西北地质,2011,44(1):10-19.
- [34]刘明强,王建军,代文军.甘肃北山红石山地区马鞍山北花岗岩体的单颗粒锆石 U-Pb 年龄及地质意义[J].岩石矿物学杂志,2006,25(6):473-479
- [35] 刘明强,王建军,代文军,等.甘肃北山造山带红石山地区正 $\varepsilon_{Nal}(t)$ 花岗质岩石的成因及地质意义[J]. 地质通报, 2005, 24 (9): 831-836
- [36] 史文全,代文军.四顶黑山镁铁质-超镁铁质岩 Sm-Nd 等时线年龄及其意义[J].甘肃地质,2008,17(1): 13-22.
- [37]代文军.甘肃北山四顶黑山镁铁、超镁铁质岩地球化学特征及其地质意义[J].甘肃地质,2010,19(2):8-17.
- [38] 牛文超,辛后田,段连峰,等.内蒙古北山地区百合山蛇绿混杂岩带的厘定及其洋盆俯冲极性——基于1:5万清河沟幅地质图的新认识[J].中国地质,2019,46(5):977-994.
- [39] 魏海峰, 张国英.北山霍勒扎德盖石炭系扫子山组岩石地层及古孢子化石特征[J].甘肃地质,2008,17(2):19-23.
- [40] 甘肃地矿局.区域地质志[M].北京: 地质出版社,1989.
- [41] 李雷.甘肃北山地区 460 金矿矿床地质及成矿流体研究[D].中国 地质大学(北京) 硕士学位论文,2015.
- [42] 莫亚龙, 吕新彪, 朱江, 等. 甘肃北山 460 金矿埃达克岩锆石年龄、地球化学特征及其地质意义[C]//2011 International Conference on Fuzzy Systems and Neural Computing, 2011: 619-622.
- [43] 左国朝,何国琦.北山板块构造及成矿规律[M].北京:北京大学出版社,1990:1-226.
- [44] Xiao W J, Mao Q G, Windley B F, et al.. Paleozoic multiple accretionary and collisional processes of the Beishan orogenic collage[J]. American Journal of Science, 2010, 310(10): 1553–1594.
- [45] 王国强, 李向民, 徐学义, 等. 甘肃北山红石山蛇绿岩锆石 U-Pb 年代学研究及构造意义[J]. 岩石学报, 2014, 30(6): 1685-1694.
- [46] 黄增保,金霞,李葆华,等.甘肃红石山地区印支期花岗岩地球化学特征及成因讨论[J].西北地质,2011,44(1):10-19.
- [47] 陈海东,高勇,何国强,等.内蒙古北山地区三个井辉长岩 LA-ICP-MS 锆石 U-Pb 年龄及地球化学特征[J].中国地质调查, 2020,7(1):53-59.
- [48]王国强.北山古生代蛇绿岩、火山岩研究与构造演化[D].长安大学博士学位论文,2015.
- [49] Wu T, Zheng R, Zhang W, et al. Tectonic framework of Beishan Mountain Northern Alxa Area and the time constraints for the closing of the Paleo Asian Ocean [C]//Proceedings of the Proceedings of the Fifth Workshop on 1:5M International Geological Map of Asia, 2011.
- [50] 李小菲.北山马鬃山地区古生代花岗岩形成年龄、地球化学特征及其地质意义[D].西北大学硕士学位论文,2013.
- [51]惠卫东,朱江,邓杰,等.甘肃北山白山堂矿区流纹斑岩的 U-Pb 年代学、地球化学特征及其地质意义[J].地质与勘探,2013,49 (3):484-495
- [52] 郭谦谦,肖文交,侯泉林,等.北山南部墩墩山弧的识别及充填层序厘定[C]//第五届全国构造地质与地球动力学学术研讨会摘要集.武汉:中国地质大学出版社,2012:83-84
- [53] 李向民,余吉远,王国强,等.甘肃北山红柳园地区泥盆系三个井

- 组和墩墩山群 LA-ICP-MS 锆石 U-Pb 测年及其意义[J].地质通报,2011,30(10): 1501-1507.
- [54] 聂凤军,江思宏,刘妍,等.内蒙古黑鹰山富铁矿床磷灰石钐-钕同位素年龄及其地质意义[]].矿床地质,2005,24(2):134-140.
- [55] 齐瑞荣, 雷志才, 黄增保. 甘肃北山北带明水西新井埃达克岩质石 英闪长岩地球化学特征及地质意义[J]. 西北地质, 2016, 49(2): 134-140.
- [56] 王琦崧,张静,王肃,等.东天山马庄山金矿区赋矿石英斑岩的岩石成因和构造背景: 元素地球化学、U-Pb 年代学和 Sr-Nd-Hf 同位素约束[J].岩石学报,2019,35(5):1503-1518.
- [57]王国强,李向民,徐学义,等.甘蒙北山地区奥陶纪火山岩地球化学特征及构造背景探讨[J].吉林大学学报(地球科学版),2014,44 (3):848-860.
- [58]王国强,李向民,徐学义,等.甘蒙北山志留纪公婆泉群火山岩的 地球化学及其对岩石成因和构造环境的制约[J].地质学报, 2016,90(10):2603-2619.
- [59] 王小红, 杨建国, 谢燮, 等. 甘肃北山红石山基性-超基性岩体的成 因类型及构造意义[]]. 西北地质, 2013, 46(1): 40-55.
- [60] 方维萱, 黄转盈, 唐红峰, 等. 东天山库姆塔格-沙泉子晚石炭世火山-沉积岩相学地质地球化学特征与构造环境[J]. 中国地质, 2006, 33(3): 529-544.
- [61] Fang W X, Huang Z Y, Zhou B, et al. Characteristics of rock—chip geochemical anomalies of No.460 gold deposits in Gansu Province, China [C]//Mao J W, Bierlein F P. Mineral deposit research: Meeting the global challenge. Springer, 2005: 1523—1526.
- [62] 聂凤军,江思宏,白大明,等.蒙甘新相邻(北山)地区金铜矿床时空分布特征及成矿作用[J].矿床地质,2003,22(3):234-245.
- [63] 方维萱, 胡瑞忠, 谢桂青, 等. 云南哀牢山地区构造岩石地层单元及其构造演化[J]. 大地构造与成矿学, 2002, 26(1): 33-41.
- [64] 方维萱, 韩润生. 云贵高原一造山带一沉积盆地的构造演化与成岩成矿作用(代序)[J]. 大地构造与成矿学, 2014, 38(4): 729-731.
- [65] Li J Y.Permian geodynamic setting of Northeast China and adjacent regions: Closure of the Paleo – Asian ocean and subduction of the Paleo – Pacific Plate [J]. J Asian Earth Sci, 2006, 26: 207–224.
- [66] 肖文交,宋东方,Windley B F,等.中亚增生造山过程与成矿作用研究进展[J].中国科学: 地球科学,2019,49: 1512-1545.
- [67]潘桂棠,陆松年,肖庆辉,等.中国大地构造阶段划分和演化[J].地 学前缘,2016,23(6):1-23.
- [68]王国强,李向民,徐学义,等.北山造山带古生代蛇绿混杂岩研究 现状及进展[J].地质通报,2021,40(1):71-81.
- [69] 张旗, 张维, 姜丽莉, 等.造山橄榄岩及其意义[J]. 地质通报, 2020, 39(10): 1489-1506.
- [70] 辛后田,牛文超,田健,等.内蒙古北山造山带时空结构与古亚洲 洋演化[]].地质通报,2020,39(9): 1297-1316.
- [71]卫彦升, 闫涛, 杨五宝, 等. 内蒙古北山造山带北带晚古生代地层时空格架的建立[J]. 地质通报, 2020, 39(9): 1367-1388.
- [72] 田健,辛后田,滕学建,等.内蒙古北山造山带白云山蛇绿混杂岩的厘定及其对北山洋俯冲消减的指示[J].地质通报,2020,39(9): 1436-1447.
- ①甘肃省地质调查院.中华人民共和国地质图说明书(红宝石幅1:250000),2004.
- ②甘肃省地质调查院.1:50 000 区域地质调查报告红岭幅(K47 E 009001)、阿勒腾闹尔梗兑乌勒幅(K47 E 009002)双沟山幅(K47 E 009003).2004.
- ③方维萱.甘肃省肃北县马鞍山测区 1986 年度岩石地球化学普查找 矿工作报告.西北有色金属物探队,1987.